### DEUTSCHE DEMOKRATISCHE REPUBLIK

# **PATENTSCHRIFT**



Ausschliessungspatent

Erteilt gemaeß § 17 Absatz 1 Patentgesetz

ISSN 0433-6461

(11)

210 303

Int.Cl.3

3(51) C 12 N 15/00

#### AMT FUER ERFINDUNGS- UND PATENTWESEN

In der vom Anmelder eingereichten Fassung veroeffentlicht

AP C 12 N/ 2506 114 374,860;398,003 483,052

04.05.83 05.05.82;14.07.82 07.04.83

(71) (72) (73) siehe (73) GOEDDEL, DAVID V.;KOHR, WILLIAM J.;PENNICA, DIANE;VEHAR, GORDON A.;US; GENENTECH, INC., SOUTH SAN FRANCISCO, US

VERFAHREN ZUR HERSTELLUNG VON HUMANGEWEBE-PLASMINOGEN-AKTIVATOR (54)

(57) Humangewebe-Plasminogen-Aktivator (t-PA) wird in brauchbaren Mengen unter Verwendung von Rekombinationstechniken gebildet. Erfindungsgemäß ist die Bildung von t-PA möglich, der frei von Verunreinigungen ist, mit denen er in seiner nativen zellulären Umgebung assoziiert ist. Ferner werden Verfahren, Expressionsvehikel und verschiedene Wirtszellen, die sich zur Herstellung von t-PA eignen, beschrieben.

\_/- Berlin, den 14.11.1983 AP C 12 N/250 611/4 62 422/12

Verfahren zur Herstellung von Humangewebe-Plasminogen-Aktivator

### Anwendungsgebiet der Erfindung

Die Erfindung betrifft die Herstellung von Human-Plasminogen-Aktivator, der dem in Humanserum und/oder -geweben gefundenen Aktivator entspricht, sowie neue Formen und Zusammensetzungen davon. Insbesondere betrifft die Erfindung Mittel und Verfahren, mit dem dieser Aktivator in homogener Form in therapeutisch erheblichen Mengen hergestellt werden kann.

Die Erfindung beruht zum Teil auf der Ermittlung der INASequenz und abgeleiteten Aminosäuresequenz von Human-Plasminogen-Aktivator. Diese Ermittlung ermöglichte die Bildung
von Human-Plasminogen-Aktivator unter Anwendung der rekombinanten DNA-Technik, die wiederum die Bildung von Material
in ausreichender Qualität und Menge möglich machte, um Tierversuche und klinische Untersuchungen als Voraussetzung für
eine Markteinführung durchzuführen, wobei keine Beschränkungen
vorlagen, mit denen bisherige Isolationsverfahren unter
Produktion und Extraktion vorhandener Zellkulturen notwendigerweise behaftet sind. Gegenstand der Erfindung sind sämtliche vorstehend angedeuteten Ausführungsformen.

### Bekannte technische Lösungen

Druckschriftliche Veröffentlichungen und andere Materialien, die den technischen Hintergrund der Erfindung erläutern und in speziellen Fällen auch zusätzliche Einzelheiten bezüglich

14.11.1983 AP C 12 N/250 611/4 62 422/12

der praktischen Durchführung der Erfindung liefern, sind in der nachstehenden Beschreibung mit Nummern gekennzeichnet. Diese Nummern beziehen sich auf die Bibliographie am Schluß der Beschreibung.

### 1 A. Humangewebe-Plasminogen-Aktivator

Das fibrinolytische System befindet sich in einem dynamischen Gleichgewicht mit dem Koagulationssystem, wodurch ein intaktes, offenes Gefässbett aufrechterhalten wird. Das Ko-

- 5 agulationssystem lagert Fibrin als eine Matrix ab, die zur Wiederherstellung eines hämostatischen Zustands dient. Das fibrinolytische System entfernt das Fibrinnetzwerk, nachdem der hämostatische Zustand erreicht ist. Der fibrinolytische Prozess wird durch das proteolytische Enzym Plasmin,
- 10 das aus dem Plasmaprotein-Vorläuferprodukt Plasminogen gebildet wird, hervorgerufen. Plasminogen wird durch Aktivierung mittels eines Aktivators in Plasmin umgewandelt.

Gegenwärtig sind im Handel zwei Aktivatoren erhältlich, näm15 lich Streptokinase und Urokinase. Beide sind zur Behandlung
von akuten Gefässerkrankungen, wie Myokardinfarkt, Schlaganfall, Lungenembolie, tiefe Venenthrombose, peripherer Arterienverschluss und andere venöse Thrombosen, indiziert. Insgesamt stellen diese Krankheiten schwerwiegende Gesundheits20 risiken dar.

Die diesen Krankheiten zugrunde liegende ätiologische Basis besteht in einem partiellen oder - in schweren Fällen - to-talen Verschluss eines Blutgefässes durch ein Gerinnsel, d.h.

- 25 Thrombus oder Thromboembolus. Bei der herkömmlichen Antikoagulationstherapie, zum Beispiel mit Heparin und Cumarin,
  wird nichts getan, um die Auflösung von Thrombi oder Thromboemboli direkt zu fördern. Die vorstehend erwähnten thrombolytischen Mittel Streptokinase und Urokinase werden in der
- 30 Praxis eingesetzt, unterliegen aber beide starken Beschränkungen. Keines der beiden Mittel besitzt eine hohe Affinität für Fibrin, so dass sie zirkulierendes und fibringebundenes Plasminogen relativ wahllos aktivieren. Das im zirkulierenden Blut gebildete Plasmin wird relativ rasch neutra-
- 35 lisiert und ist für die Thrombolyse verloren. Restliches Plasmin baut verschiedene Gerinnungsfaktorproteine ab, zum Beispiel Fibrinogen, Faktor V und Faktor VIII, was ein nämorrhagisches Potential verursacht. Ferner ist Streptokinase

- 1 stark antigen, und Patienten mit hohen Antikörpertitern reagieren ungenügend auf die Behandlung und können nicht unter Dauerbehandlung bleiben. Die Urokinasetherapie ist teuer, was auf die Isolierung aus menschlichem Urin oder Gewebekulturen zurückzuführen ist, so dass sie sich in der klinischen Praxis nicht allgemein durchgesetzt hat. Urokinase ist Gegenstand zahlreicher Untersuchungen gewesen; vgl. zum Beispiel Literaturstellen 1-6.
- 10 Sogenannte Plasminogen-Aktivatoren wurden aus verschiedenen Humangeweben, zum Beispiel Uterusgewebe, Blut, Serum (vgl. allgemein Literaturstellen 7-11) und Zellkulturen isoliert (94). Zusammensetzungen davon wurden ebenfalls beschrieben (vgl. Literaturstellen 12, 13 und 14-18). Die aus 15 diesen Quellen abgeleiteten Plasminogen-Aktivatoren wurden in zwei Hauptgruppen eingeteilt: Plasminogen-Aktivatoren vom Urokinasetyp (u-PA) und Plasminogen-Aktivatoren vom Gewebetyp (t-PA), basierend auf Unterschieden in den immunologischen Eigenschaften. (Die Abkürzungen t-PA und u-PA wurden 20 beim XXVIII Meeting of the International Committee on Thrombosis and Hemostasis, Bergamo, Italien, 27. Juli 1982, vorgeschlagen.)
- Kürzlich wurde eine Humanmelanomlinie identifiziert, die 25t-PA sekretiert. Die Charakterisierung dieses Melanom-Plasminogen-Aktivators ergab, dass er sich sowohl immunologisch als auch im Hinblick auf die Aminosäurezusammensetzung von aus normalem Humangewebe isoliertem Plasminogen-Aktivator nicht unterscheiden lässt (Literaturstellen 19, 88).
  - Das Produkt wurde in relativ reiner Form isoliert und charakterisiert. Es wurde festgestellt, dass es sich um ein hochaktives, fibrinolytisches Mittel handelt (20).

30

35 Einige Untersuchungen (vgl. zum Beispiel Literaturstellen 95-98), die aus Melanomzellinien gereinigte t-PA verwendeten, ergaben für dieses Produkt im Vergleich zu Plasminogen-Aktivatoren vom Urokinasetyp eine höhere Affinität für Fibrin.

1 Eingehendere Untersuchungen von human-t-PA als potentielles, thrombolytisches Mittel wurden jedoch durch dessen äusserst niedrige Konzentration in Blut, Gewebeextrakten, Gefässperfusionsprodukten und Zellkulturen behindert.

5

Man nahm an, dass die Anwendung der rekombinanten DNA-Technik einen sehr wirksamen Weg zur Bereitstellung der erforderlichen, grossen Mengen an qualitativ hochwertigem Plasminogen-Aktivator vom Humangewebetyp (vorher als Human-Plas-

10 minogen-Aktivator bezeichnet), der im wesentlichen frei von anderem Humanprotein ist, darstellt. Diese Materialien sollten vermutlich biologisch aktiv sein, was ihre klinische Verwendung bei der Behandlung verschiedener kardiovaskulärer Zustände oder Krankheiten ermöglichen würde.

15

Zufriedenstellende Mengen an Human-t-PA werden von Zellkulturen gebildet, wobei jedoch weitere Verfeinerungen unter Anwendung einer sekundären, kodierenden Sequenz dazu dienen, die Produktionsmengen noch weiter zu erhöhen. Die sekundäre,

20 kodierende Sequenz umfasst Dihydrofolat-reduktase (DHFR), die durch einen extern gesteuerten Parameter, wie Methotrexat, beeinflusst wird, wodurch die Steuerung der Expression durch Steuerung der Methotrexat (MTX)-Konzentration ermöglicht wird.

25

#### B. Rekombinante DNA-Technik

Die rekombinante DNA-Technik hat in letzter Zeit eine erhebliche Verfeinerung erfahren. Die Molekularbiologen sind 30 in der Lage, verschiedene DNA-Sequenzen relativ leicht zu rekombinieren und neue DNA-Einheiten zu schaffen, die zur Bildung von erheblichen Mengen an exogenen Proteinprodukten in transformierten Mikroben und Zellkulturen fähig sind. Es stehen allgemeine Mittel und Verfahren zur in vitro-Liga-35 tion von verschiedenen DNA-Fragmenten mit stumpfen oder kohäsiven Enden zur Verfügung, die zur Bildung von leistungsfähigen Expressionsvehikeln führen, mit denen spezielle Organismen transformiert werden können, so dass deren Syn-

1 theseleistung auf das gewünschte, exogene Produkt gerichtet wird. Bei einzelnen Produkten ist dieses Verfahren jedoch recht umständlich. Die Kenntnisse sind noch nicht so weit fortgeschritten, dass regelmässige Vorhersagen über die Er-5 folgsaussichten gemacht werden können. Versucht man Erfolge ohne entsprechende, experimentelle Basis vorherzusagen, so läuft man Gefahr zu scheitern.

Die DNA-Rekombination der wesentlichen Elemente, d.h. ein 10 Startpunkt der Replikation, eine oder mehrere phänotypische Selektionscharakteristiken, ein Expressionspromotor, heterologes Geninsert und restlicher Vektor, findet im allgemeinen ausserhalb der Wirtszelle statt. Das erhaltene, rekombinante, replizierbare Expressionsvehikel oder Plasmid 15 werden in die Zellen durch Transformation eingeführt und grosse Mengen des rekombinanten Vehikels durch Wachstum des Transformanten erhalten. Wird das Gen in Bezug auf die Teile, die die Transkription und Translation der einkodierten DNA-Botschaft steuern, in geeigneter Weise mit Inserts versehen, 20 so eignet sich das erhaltene Expressionsvehikel zur tatsächlichen Bildung der Polypeptidsequenz, für die das eingesetzte Gen kodiert; ein Vorgang der als Expression bezeichnet wird. Das gebildete Produkt kann gegebenenfalls durch Lysis der Wirtszelle in mikrobiellen Systemen und Gewinnung des Produkts 25 durch entsprechende Reinigung von anderen Proteinen erhalten

In der Praxis kann die Verwendung der rekombinanten DNATechnik zur Expression von vollkommen heterologen Polypep30 tiden - sogenannte direkte Expression - oder zur Expression
eines heterologen Polypeptids führen, das mit einem Teil der
Aminosäuresequenz eines homologen Polypeptids verschmolzen
ist. In den letztgenannten Fällen wird das gewünschte,bioaktive Produkt gelegentlich innerhalb des verschmolzenen,
35 homolog/heterologen Polypeptids biologisch inaktiv, bis es in
einer extrazellulären Umgebung gespalten wird; vgl. (21) und
(22).

werden.

14.11.1983 AP C 12 N/250 611/4 62 422/12

In ähnlicher Weise ist die Technik von Zell- oder Gewebekulturen für genetische und zellphysiologische Untersuchungen gut eingeführt. Mittel und Methoden zur Erhaltung von permanenten Zellinien, die durch sukzessive
Serienübertragungen von isolerten, normalen Zellen hergestellt werden, stehen zur Verfügung. Für Forschungszwecke werden derartige Zellinien auf einem festen Träger
in einem flüssigen Medium gehalten oder in Suspension mit
einem Gehalt an erhaltenden Nährstoffen gezüchtet. Eine
Vergrößerung des Herstellungsmaßstabs zur Herstellung von
großen Präparatemengen scheint nur eine Frage der
mechanischen Möglichkeiten zu sein. Zur Vertiefung wird
in diesem Zusammenhang auf die Literaturstellen (23) und
(24) verwiesen.

Ebenso stellt die Proteinbiochemie ein wertvolles, ja notweniges Hilfsmittel in der Biotechnologie dar. Zellen, die das gewünschte Protein bilden, bilden darüber hinaus noch Hunderte von anderen Proteinen, endogenen Produkten des Zellstoffwechsels. Diese verunreinigenden Proteine sowie andere Verbindungen können, wenn sie nicht vom gewünschten Protein abgetrennt werden, bei Verabreichung an Tiere oder Menschen im Verlauf einer therapeutischen Behandlung mit dem gewünschten Protein toxisch wirken. Hier-Hier kommen die Methoden der Proteinbiochemie zum Tragen, die die Bereitstellung von Trennungsverfahren ermöglichen, die für das spezielle, in Betracht kommende System geeignet sind und zur Bildung eines für den beabsichtigten Verwendungszweck sicheren, homogenen Produkts führen. Die Proteinblochemie ermöglicht auch eine Identifizierung und Charakterisierung dieses Produkts und stellt sicher, daß die gebildeten Zellen das Produkt ohne Veranderungen oder

-7-

Mutationen gebildet haben. Dieser Zweig der Wissenschaft befaßt sich auch mit der Ausarbeitung von Bioassays, Stabilitätsuntersuchungen und anderen Verfahren, die durchgeführt werden müssen, bevor erfolgreiche, klinische Untersuchungen oder eine Markteinführung möglich sind.

### Ziel der Erfindung

Es ist Ziel der Erfindung, die rekombinante DNA-Technik zur Herstellung von Humangewebe-Plasminogen-Aktivator (T-PA) miteinzubeziehen, vorzugsweise in direkter Form und in Mengen, die ausreichen, Tierversuche und klinische Untersuchungen, die eine Voraussetzung für eine Marktzulassung sind, zu initiieren und durchzuführen. Das gebildete human t-PA eignet sich für alle Formen der prophylaktischen oder therapeutischen Behandlung des Menschen bei verschiedenen kardiovaskulären Zuständen oder Krankheiten. Die Verwendung von t-PA und von geeigneten pharmazeutischen Zusammensetzungen davon stellen bei der Behandlung vaskulärer Stärungen beim Menschen einen wichtigen Gesichtspunkt dar.

### Wesen der Erfindung

Der Erfindung liegt die Aufgabe zugrunde, ein Verfahren zur Herstellung von Humangewebe-Plasminogen-Aktivator bereitzustellen. Der durch genetische Manipulation von Mikroorganismen oder Zellkulturen gebildete Human-Plasminogen-Aktivator eröffnet die Möglichkeit, Humangewebe-Plasminogen-Aktivator effizienter als bisher herzustellen, wodurch die bisher schwer durchführbare, wirtschaftliche Verwertung ermöglicht wird. Ferner kann der erfindungs-gemäß hergestellte Humangewebe-Plasminogen-Aktivator je

nach Art der Wirtszelle im Vergleich zu nativem Material in größerem oder geringerem Umfangæssozierte Glycosylierung enthalten. Auf jeden Fall ist das t-PA frei von Verunreinigungen, von denen es normalerweise in nichtrekombinanter, zellulärer Umgebung begleitet ist.

Für die Durchführung des erfindungsgemäßen Verfahrens sind ferner replizierbare DNA-Expressionsvehikel erforderlich, die Gensequenzen beherbergen, welche Humangewebe-Plasminogen-Aktivator in expressionsfähiger Form kodiren sowie Mikro-organismenstämme oder Zellkulturen, die mit den vorstehenden Expressionsvehikeln transformiert sind, sowie Mikroben- oder Zellkulturen von derart transformierten Stämmen oder Kulturen, die zur Bildung von Humangewebe-Plasminogen-Aktivator in der Lage sind.

### A. Definitionen

Die Ausdrücke "Humangewebe-Plasminogen-Aktivator" oder "human t-PA" oder "t-PA" betreffen den durch Mikroorganismenoder Zellkultursysteme gebildeten, exogenen (Gewebetyp)
Plasminogen-Aktivator in bioaktiven Formen, der einen Proteaseteil umfaßt und den für Humangewebe nativen GewebePlasminogen-Aktivatoren entspricht. Das erfindungsgemäß
gebildete Humangewebe-Plasminogen-Aktivatorprotein wurde
mittels eines bestimmten DNA-Gens und der abgeleiteten Aminosäuresequenz definiert. Es ist klar, daß natürliche allele
Variationen vorkommen und von Individuum zu Individuum auftreten. Diese Variationen können sich durch eine oder mehrere
unterschiedliche Aminosäuren in der Gesamtsequenz oder durch
Deletionen, Substitutionen, Insertionen, Inversionen oder
Additionen von einer oder mehreren Aminosäuren dieser Sequenz

14.11.1983 AP C 12 N/250 611/4 62 422/12

bemerkbar machen. Ferner hängt die Stellung und das Ausmaß der Glycosylierung von der Natur der Wirtszellenumgebung ab.

Bei der Anwendung rekombinanter DNA-Technik besteht die Möglichkeit zur Herstellung verschiedener Humangewebe-Plasminogen-Aktivatorderivate, die in verschiedener Weise durch einfache oder mehrfache Substitution, Deletion, Addition oder Ersatz von Aminosäuren modifiziert sind, beispielsweise durch gezielte Mutagenese der zugrunde liegenden DNA. Umfaßt wird auch die Herstellung von Derivaten, bei denen der wesentli-

1 che "kringle"-Bereich und der Serinprotease-Bereich, die im allgemeinen für den hier speziell beschriebenen Humangewebe-Plasminogen-Aktivator charakteristisch sind, erhalten sind, die aber ansonsten auf die vorstehend beschriebene Weise

5 modifiziert sind. Sämtliche derartigen allelen Variationen und Modifikationen, die zu Derivaten von Humangewebe-Plasminogen-Aktivator führen, fallen unter den Gegenstand der Erfindung, desgleichen auch andere verwandte, exogene (Gewebetyp) Human-Plasminogen-Aktivatoren, die physikalisch

10 und chemisch ähnlich sind, sofern die wesentliche charakteristische Aktivität von Humangewebe-Plasminogen-Aktivator in ihrer Art unbeeinträchtigt bleibt.

Es wird Humangewebe-Plasminogen-Aktivator hergestellt, 1) 15 der Methionin als erste Aminosäure (vorhanden auf Grund der ATG-Startsignalcodoninsertion zu Beginn des Strukturgens) oder 2) der wenn das Methionin intra- oder extrazellulär gespalten ist, seine normalerweise erste Aminosäure aufweist oder 3) der zusammen entweder mit seinem Signalpolypeptid oder 20 einem sich vom herkömmlichen Signalpolypeptid unterscheidenden, konjugierten Protein vorliegt, wobei das Signalpolypeptid oder das Konjugat spezifisch in einer intra-oder extrazellulären Umgebung abspaltbar sind (vgl. Literaturstelle 21), oder 4) der durch direkte Expression in reifer Form 25 erhältlich ist, ohne dass die Notwendigkeit zur Abspaltung eines nicht dazugehörigen, überflüssigen Polypeptids besteht. Das letztgenannte Produkt ist besonders wichtig. wenn ein bestimmter Wirt nicht oder nicht in ausreichendem Umfang zur Entfernung eines Signalpeptids in der Lage ist, 30 sofern das Expressionsvehikel so aufgebaut ist, dass es den Gewebe-Plasminogen-Aktivator zusammen mit dessen Signalpeptid exprimiert. Auf jeden Fallwird der auf diese Weise gebildete human t-PA in seinen verschiedenen Formen gewonnen und soweit gereinigt, dass er sich zur Behandlung verschie-35 dener vaskulärer Zustände oder Krankheiten eignet.

- 1 Ferner besitzt t-PA Formen, die sowohl das Einzelketten-(1-Kette)-Protein als auch das 2-Ketten-Protein umfassen. Das letzt genannte Produkt leitet sich proteolytisch von der 1-Ketten-Verbindung ab. Es wird angenommen, dass das 2-
- 5 Ketten-Protein mit dem gebildeten Fibrin assoziiert ist und dass die proteolytische Umwandlung vom 1- in das 2-Ketten-Material am Ort der Umwandlung vom Plasminogen zu Plasmin erfolgt. Erfindungsgemäss kommt die Verabreichung des 1-Ketten-Proteins zur vorstehend beschriebenen in vivo-Umwand-
- 10 lung oder die Verabreichung des 2-Ketten-Proteins, das sich ebenfalls als aktiv erwiesen hat, in Frage. Das 2-Ketten-Protein kann durch in vitro-proteolytische Umwandlung hergestellt werden, nachdem das 1-Ketten-Material gebildet ist. Ein sogenannter "kringle"-Bereich findet sich oberhalb des
- 15 Serinproteasebereichs. Es wird angenommen, dass dieser eine wichtige Funktion bei der Bindung des Gewebe-Plasminogen-Aktivators an eine Fibrinmatrix spielt. Darauf beruht die beobachtete, spezifische Aktivität des erfindungsgemässen Gewebe-Plasminogen-Aktivators gegen fühlbare vorhandene
- 20 Thromben. Der erfindungsgemässe Gewebe-Plasminogen-Aktivator wird mit einem Gehalt an dem enzymatisch aktiven Bereich gebildet, der dem nativen Material entspricht. Der Ausdruck Humangewebe-Plasminogen-Aktivator definiert Produkte, die diesen Bereich allein oder zusammen mit zusätzlichen Aminosäure-25 sequenzen bis zur vollen Länge des Moleküls umfassen.

Zusammenfassend lässt sich für die vorliegende Erfindung human t-PA folgendermassen funktionell definieren: Es ist in der Lage, die Umwandlung von Plasminogen zu Plasmin zu 30 katalysieren, geht eine Bindung mit Fibrin ein und wird auf Grund der vorstehend dargelegten immunologischen Eigenschaften als t-PA klassifiziert.

Der Ausdruck "in im wesentlichen reiner Form" beschreibt 35 den Zustand von erfindungsgemäss gebildetem human t-PA, das frei von Protein oder anderen normalerweise mit human t-PA assoziierten Materialien ist, die bei Bildung durch nicht-rekombinante Zellen, d.h. in der "nativen" Umgebung, ent-

1 stehen.

Der Ausdruck "DHFR-Protein" bezieht sich auf ein Protein, das die mit Dihydrofolat-reductase (DHFR) assoziierte Akti5 vität entfaltet und das daher von Zellen gebildet werden muss, die in einem Medium mit einem Mangel an Hypoxanthin, Glycin und Thymidin (-HGT-Medium) nicht lebensfähig sind.
Im allgemeinen können Zellen mit einem Mangel an DHFR-Protein auf diesem Medium nicht wachsen, während Zellen mit ei10 nem Gehalt an DHFR-Protein dazu in der Lage sind.

Der Ausdruck "gegenüber MTX empfindliche Zellen" betrifft Zellen, die nicht in der Lage sind,auf Medien, die den DHFR-Innibitor Methotrexat (MTX) enthalten, zu wachsen. Bei die-

- 15 sen "gegenüber MTX empfindlichen Zellen" handelt es sich um solche Zellen, die ohne eine genetische Veränderung oder eine anderweitige Ergänzung nicht in der Lage sind, unter Bedingungen, die für den Zelltyp in Bezug auf Umgebung und Medium an sich geeignet sind, zu wachsen, wenn die MTX-Konzentra-
- 20 tion 0,2 μg/ml oder mehr beträgt. Einige Zellen,zum Beispiel Bakterien, besitzen keine MTX-Empfindlichkeit, was darauf zurückzuführen ist, dass sie MTX nicht in ihre Zellbegrenzugen gelangen lassen, selbst wenn sie DHFR enthalten, das ansonsten gegenüber diesem Arzneistoff empfindlich wäre. Im
- 25 allgemeinen sind Zellen, die als DHFR-Protein Wildtyp-DHFR enthalten, gegenüber Methotrexat empfindlich, wenn sie in Bezug auf MTX durchlässig oder zu dessen Aufnahme in der Lage sind.
- 30 Der Ausdruck "Wildtyp-DHFR" bezieht sich auf Dihydrofolatreductase, wie sie üblicherweise in dem speziellen in Frage kommenden Organismus gefunden wird. Wildtyp-DHFR ist im
  allgemeinen in vitro empfindlich gegenüber niedrigen Konzentrationen an Methotrexat.

.35

Der Ausdruck "DHFR-Protein mit geringer Bindungsaffinität für MTX" ist funktionell definiert. Es handelt sich um ein DHFR-Protein, das bei Bildung innerhalb von Zellen das Wachs1 tum von MTX-empfindlichen Zellen in einem Medium mit einem Gehalt an 0,2  $\mu$ g/ml oder mehr MTX ermöglicht. Es ist ersichtlich, dass eine derartige funktionelle Definition von der Leichtigkeit, mit der der Organismus das "DHFR-Protein mit nied-

- 5 riger Bindungsaktivität für MTX" bildet sowie vom Protein selbst abhängt. Jedoch sollte im Rahmen der vorliegenden Erfindung ein derartiger Ausgleich zwischen diesen beiden Mechanismen keine Schwierigkeiten bereiten. Erfindungsgemäss wird eine Überlebensfähigkeit bei diesen MTX-Konzentrationen
- 10 gewährleistet. Es ist belanglos, ob die Fähigkeit hierzu zusätzlich zur vorhandenen Natur des gebildeten DHFR durch erhöhte Expression beeinflusst wird. Ein geeignetes DHFR-Protein, das dieser Definition entspricht, ist in der US-Anmeldung 459 151 vom 19. Januar 1983 beschrieben.

15

Der Ausdruck "Expressionsvektor" umfasst Vektoren, die zur Expression von hier in Betracht kommenden DNA-Sequenzen in der Lage sind, wobei diese Sequenzen funktionell mit anderen Sequenzen verknüpft sind, die zur Durchführung von deren Ex-

- 20 pression in der Lage sind. Es wird stillschweigend angenommen, wenn auch nicht immer ausdrücklich erwähnt, dass diese Expressionsvektoren in den Wirtsorganismen entweder als Episomen oder als integrierender Bestandteil der chromosomalen DNA replizierbar sein müssen. Ein Mangel an Replikationsfä-
- 25 higkeit würde sie ganz eindeutig unbrauchbar machen. Zusammengefasst ist der Ausdruck "Expressionsvektor" funktionell definiert. Jede DNA-Sequenz, die zur Expression eines bestimmten, hier in Frage kommenden DNA-Codes in der Lage ist, fällt unter diesen Ausdruck, sofern er auf die bestimmte
- 30 Sequenz angewandt wird. Im allgemeinen liegen für rekombinante DNA-Techniken geeignete Expressionsvektoren häufig in Form von "Plasmiden" vor, wobei dieser Ausdruck sich auf kreisförmige, doppelsträngige DNA-Schleifen bezieht, die in ihrer Vektorform nicht an das Chromosom gebunden sind. In der
- 35 vorliegenden Beschreibung werden die Ausdrücke "Plasmid" und "Vektor" wechselweise verwendet, da das Plasmid die am häufigsten verwendete Vektorform ist. Jedoch umfasst die Erfindung auch solche andere Formen von Expressionsvektoren,

l die äquivalente Funktionen erfüllen und die noch aufgefunden werden.

Der Ausdruck "rekombinante Wirtszellen" betrifft Zellen, die 5 mit Vektoren, die durch rekombinante DNA-Techniken aufgebaut sind, transformiert sind. Entsprechend der hier gegebenen Definition wird t-PA in den auf Grund dieser Transformation erreichten Mengen gebildet und nicht in den geringen Mengen, die durch den untransformierten Wirt entstehen, die häufig 10 unter der Nachweisgrenze liegen. Durch derartige Zellen gebildeter t-PA kann auch als "rekombinanter t-PA" bezeichnet werden.

# B. Wirtszellkulturen und Vektoren

15

Die hier beschriebenen Vektoren und Methoden eigenen sich zur Anwendung in Wirtszellen innerhalb eines breiten Bereichs von prokaryontischen und eukaryontischen Organismen.

20 Selbstverständlich werden im allgemeinen Prokaryonten zum Klonen von DNA-Sequenzen beim Aufbau der erfindungsgemäss geeigneten Vektoren bevorzugt. Beispielsweise ist E. coli K12 Stamm 294 (ATCC 31446) besonders geeignet. Es können auch andere Mikroorganismenstämme verwendet werden, darun-25 ter die E. coli-Stämme E. coli B und E. coli X1776 (ATCC 31537). Diese Beispiele dienen jedoch nur zur Erläuterung und stellen keine Beschränkung dar.

Prokaryonten können ebenfalls zur Expression verwendet wer30 den. Die vorerwähnten Stämme sowie E. coli W3110 ( $F^-$ ,  $\lambda^-$ ,
prototroph, ATCC 27325), Bazillen, wie Bacillus subtilis
und andere Enterobacteriaceae, wie Salmonella typhimurium
oder Serratia marcescens und verschiedene Pseudomonas-Spezies können verwendet werden.

- 1 Im allgemeinen werden Replikon und Kontrollsequenzen enthaltende Plasmidvektoren, die von mit der Wirtszelle verträglichen Spezies abgeleitet sind, in Verbindung mit diesen Wirten verwendet. Der Vektor trägt üblicherweise eine Repli-
- 5 kationsstelle sowie markierende Sequenzen, die in der Lage sind, eine phänotypische Selektion in transformierten Zellen zu gewährleisten. Beispielsweise wird E. coli typischerweise unter Verwendung von pBR 322, einem von einer E. coli-Spezies abgeleiteten Plasmid (Bolivar et al., Gene 2, (1977), Seite
- transformiert. pBR 322 enthält
  Gene für Ampicillin- und Tetracyclinresistenz und erlaubt
  somit eine leichte Identifizierung von transformierten Zellen. Das pBR 322-Plasmid oder andere mikrobielle Plasmid
  muss auch Promotoren enthalten, die vom mikrobiellen Orga-
- 15 nismus zur Expression seiner eigenen Proteine verwendet werden können, oder es muss so modifiziert sein, dass es diese Promotoren enthält. Diese Promotoren, die sehr häufig beim rekombinanten DNA-Aufbau verwendet werden, umfassen  $\beta$ -Lactamase (Penicillinase) und Lactose-Promotorsysteme
- 20 (Chang et al., Nature, Bd. 275 (1978), S. 615; Itakura et al., Science, Bd. 198 (1977), S. 1056; Goeddel et al., Nature, Bd. 281 (1979), S. 544) sowie ein Tryptophan (trp)-Promotorsystem (Goeddel et al., Nucleic Acids Res., Bd. 8 (1980), S. 4057; EP-Veröffentlichungsnummer 0 036 776).
- 25 Neben diesen besonders gebräuchlichen Promotoren wurden auch andere mikrobielle Promotoren aufgefunden und eingesetzt. Einzelheiten bezüglich der Nukleotidsequenzen dieser Promotoren wurden veröffentlicht, was es dem Fachmann erlaubt, sie funktionell mit Plasmidvektoren zu verknüpfen (Sieben-30 list et al., Cell, Bd. 20 (1980), S. 269).

Neben Prokaryonten könnén auch eukaryontische Mikroben, wie Hefekulturen, verwendet werden. Unter den eukaryontischen Mikroorganismen wird am häufigsten Saccharomyces cerevisiae 35 oder übliche Bäckerhefe verwendet, wenngleich auch zahlreiche andere Stämme verfügbar sind. Für die Expression in Saccharomyces wird im allgemeinen das Plasmid YRp7 (Stinchcomb et al., Nature, Bd. 282 (1979), S. 39; Kingsman et al.,

1 Gene, Bd. 7 (1979), S. 141; Tschember et al., Gene, Bd. 10 (1980), S. 157) verwendet. Dieses Plasmid enthält bereits das trp1-Gen, das einen Selektionsmarker für einen Mutantenstamm von Hefe, dem die Fähigkeit zum Wachstum in Tryptophan 5 fehlt, zum Beispiel ATCC 44076 oder PEP4-1 (Jones, Genetics, Bd. 85 (1977), S. 12), bereitstellt. Die Anwesenheit der trp1-Läsion als Charakteristikum für das Hefewirtszellengenom stellt dann eine wirksame Umgebung zum Nachweis der Transformation durch Wachstum in Abwesenheit von Tryptophan 10 dar.

Beispiele für geeignete Promotorsequenzen in Hefevektoren sind die Promotoren für 3-Phosphoglycerat-kinase (Hitzeman et al., J. Biol. Chem., Bd. 255 (1980), S. 2073) oder ande-15 re gly colytische Enzyme (Hess et al., J. Adv. Enzyme Reg., Bd. 7 (1968), S. 149; Holland et al., Biochemistry, Bd. 17 (1978), S. 4900), wie Enolase, Glycerinaldehyd-3-phosphatdehydrogenase, Hexokinase, Pyruvat-decarboxylase, Phosphofructokinase, Glukose-6-phosphat-isomerase, 3-Phosphogly-20 cerat-mutase, Pyruvat-kinase, Triosephosphat-isomerase, Phosphoglucose-isomerase und Glucokinase. Beim Aufbau von geeigneten Expressionsplasmiden, werden die mit diesen Genen assoziierte Terminationssequenzen ebenso in den Expressionsvektor 3' der gewünschten, zu exprimierenden Sequenz ligiert, 25 um für die Polyadenylierung von mRNA und Termination zu sorgen. Weitere Promotoren, die den zusätzlichen Vorteil der durch die Wachstumsbedingungen kontrollierten Transkription aufweisen, sind die Promotorbereiche für Alkohol-dehydrogenase 2, Isocytochrom C, saure Phosphatase, mit dem 30 Stickstoffstoffwechsel assoziierte, abbauende Enzyme und die vorerwähnten Glycerinaldehyd-3-phosphat-dehydrogenase sowie Enzyme, die für die Verwertung von Maltose und Lactose verantwortlich sind (Holland a.a.O.). Beliebige Plasmidvektoren mit einem Gehalt an hefeverträglichen Promotor-Replikationsstart-35 stellen- und Terminationssequenzen sind geeignet.

Neben Mikroorganismen können auch Kulturen von Zellen, die sich von mehrzelligen Organismen ableiten, als Wirte ver1 wendet werden. Im Prinzip sind beliebige, derartige Zellkulturen geeignet, unabhängig davon, ob sie von Wirbeltieren oder wirbellosen Tieren stammen. Das grösste Interesse besteht jedoch für Wirbeltierzellen. Die Vermehrung von Wir-

5 beltierzellen in Kulturen (Gewebekulturen) ist in den letzten Jahren zu einem routinemässigen Verfahren geworden (Tissue Culture, Academic Press, Herausgeber Kruse und Patterson, 1973). Beispiele für derartige, geeignete Wirtszelllinien sind VERO- und HeLa-Zellen, Zellinien aus den Ovarien

10 des Chinesischen Hamsters (CHO) und W138-, BHK-, COS-7und MDCK-Zellinien. Expressionsvektoren für derartige Zellen umfassen im allgemeinen (soweit erforderlich) eine Replikationsstartstelle, einen vor dem zu exprimierenden Gen befindlichen Promotor zusammen mit eventuell erforderlichen

15 Ribosomenbindungsstellen, RNA-Spleissstellen, eine Polyadenylierungsstelle und transkriptionale Terminatorsequenzen.

Bei Säugetierzellen werden die Kontrollfunktionen an den Expressions vektoren häufig durch virales Material bereitge-20 stellt. Beispielsweise leiten sich üblicherweise Promotoren von Polyoma, Adenovirus 2 und sehr häufig von Simian Virus 40 (SV 40) ab. Die frühen und späten Promotoren des SV 40-Virus sind besonders geeignet, da sie beide leicht aus dem Virus als ein Fragment erhalten werden, das auch die SV 40-25 virale Replikationsstartstelle enthält (Fiers et al., Nature, Bd. 273 (1978), S. 113). Kleinere oder grössere SV 40-Fragmente können ebenfalls verwendet werden, vorausgesetzt es ist die etwa 250 bp umfassende Sequenz von der Hind III-Stelle bis zur Bgl I-Stelle, die sich in der viralen Repli-30 kationsstartstelle befindet, vorhanden. Ferner ist es auch möglich und häufig erwünscht, Promotor- oder Kontrollsequenzen zu verwenden, die normalerweise mit der erwünschten Gensequenz assoziiert sind, vorausgesetzt diese Kontrollsequen-

Eine Replikationsstartstelle kann entweder durch Aufbau des Vektors einer exogenen Startstelle, abgeleitet beispielsweise von SV 40 oder einer anderen viralen Quelle (zum Bei-

zen sind mit den Wirtszellsystemen verträglich.

1 spiel Polyoma, Adeno, VSV, BPV und dergleichen), oder durch den chromosomalen Replikationsmechanismus der Wirtszelle bereitgestellt werden. Ist der Vektor in das Wirtszellenchromosom integriert, ist dieses Chromosom häufig ausrei-5 chend.

Bei der Auswahl einer bevorzugten Wirtszelle für die Transfektion durch die erfindungsgemässen Vektoren, die sowohl t-PA als auch DHFR-Protein kodierende DNA- Sequenzen umfas10 sen, ist es angebracht, den Wirt entsprechend dem Typ des verwendeten DHFR-Proteins auszuwählen. Wird Wildtyp-DHFR-Protein verwendet, wählt man vorzugsweise eine Wirtszelle mit einem Mangel an DHFR, was die Verwendung der DHFR kodierenden Sequenz als Marker für die erfolgreiche Transfektion im 15 selektiven Medium mit Mangel an Hypoxanthin, Glycin und Thymidin ermöglicht. Eine geeignete Wirtszelle in diesem Fall ist die Zellinie aus den Ovarien des Chinesischen Hamsters (CHO) mit einem Mangel an DHFR-Aktivität. Diese Zelllinie lässt sich gemäss Urlaub und Chasin, Proc. Natl. Acad. 20 Sci. (USA), Bd. 77 (1980), S. 4216) herstellen und vermehren.

Wird andererseits DHFR-Protein mit niedriger Bindungsaffinität für MTX als Kontrollsequenz verwendet, ist es nicht
25 erforderlich, DHFR-resistente Zellen zu verwenden. Da die
mutante DHFR gegen Methotrexat resistent ist, können Medien
mit einem Gehalt an MTX als Selektionsmittel verwendet werden, vorausgesetzt die Wirtszellen sind selbst gegen Methotrexin empfindlich. Die meisten eukaryontischen Zellen, die
30 zur Absorption von MTX fähig sind, scheinen gegenüber Methotrexat empfindlich zu sein. Eine geeignete derartige Zelllinie ist eine CHO-Linie, CHO-K1 ATCC CCL 61.

Die nachstehenden Beispiele beschreiben die Verwendung von 35 E. coli mit dem trp-Promotorsystem und CHO-Zellen als Wirtszellen und von Expressionsvektoren, die die SV 40-Replikationsstartstelle als Promotor enthalten. Der Fachmann kann jedoch auf Crund seines Fachwissens analoge Techniken anwen-

1 den, um Expressionsvektoren zur Expression der gewünschten Proteinsequenzen in anderen prokaryontischen oder eukaryontischen Wirtszellkulturen aufzubauen.

#### 5 C. Angewandte Verfahren

Werden Zellen ohne erhebliche Zellwandbarrieren als Wirtszellen verwendet, wird die Transfektion gemäss dem Calciumphosphat-Fällungsverfahren nach Graham und Van der Eb, Vi10 rology, Bd. 52 (1978), S. 546 durchgeführt. Doch können auch
andere Verfahren zur Einführung von DNA in Zellen zum Beispiel durch nukleare Injektion oder durch Protoplastenfusion angewandt werden.

15 Werden prokaryontische Zellen oder Zellen, die wesentliche Zellwandkonstruktionen enthalten, verwendet, so besteht die bevorzugte Transfektionsmethode in der Calciumbehandlung unter Verwendung von Calciumchlorid gemäss F.N. Cohen et al., Proc. Natl. Acad. Sci. (USA), Bd. 69 (1972), S. 2110.

Beim Aufbau von geeigneten Vektoren mit einem Gehalt an diesen Kodierungs- und Kontrollsequenzen werden übliche Ligationstechniken angewandt. Isolierte Plasmide oder ENA-Fragmente werden zur Bildung der gewünschten Form der erforder-25 lichen Plasmide gespalten, geschnitten und religiert.

Die Spaltung wird durch Behandlung mit Restriktionsenzym (oder Enzymen) in einem geeigneten Puffer durchgeführt. Im allgemeinen werden etwa 1 µg Plasmid oder DNA-Fragmente mit 30 etwa 1 unit Enzym in etwa 20 µl Pufferlösung verwendet. (Entsprechende Puffer und Substratmengen für bestimmte Restriktionsenzyme werden vom Hersteller angegeben.) Inkubationszeiten von etwa 1 Stunde bei 37°C sind geeignet. Nach der Inkubation wird das Protein durch Extraktion mit Phenol 35 und Chloroform entfernt. Die Nucleinsäure wird aus der wässrigen Fraktion durch Fällung mit Äthanol gewonnen.

Sind stumpfe Enden erforderlich, wird das Präparat 15 Minu-

1 ten bei 15°C mit 10 units Polymerase I (Klenow) behandelt, mit Phenol/Choroform extrahiert und mit Äthanol gefällt.

Die Auftrennung der gespaltenen Fragmente nach der Grösse 5 wird unter Verwendung von 6 prozentigem Polyacrylamidgel gemäss D. Goeddel et al., Nucleic Acids Res., Bd. 8 (1980), S. 4057 durchgeführt.

Zur Ligation werden etwa äquimolare Mengen der gewünschten 10 Komponenten, die am Ende in geeigneter Weise geschnitten sind, um eine korrekte Übereinstimmung zu gewährleisten, mit etwa 10 units T4 DNA-Ligase pro 0,5 µg DNA behandelt. (Wenn gespaltene Vektoren als Bestandteile verwendet werden, kann zur Verhinderung der Religation des gespaltenen 15 Vektors eine Vorbehandlung mit bakterieller, alkalischer Phosphatase durchgeführt werden.)

Für eine Analyse zur Bestätigung der korrekten Sequenzen in den aufgebauten Plasmiden werden die Ligationsgemische zur 20 Transformation von E. coli K12-Stamm 294 (ATCC 31446) verwendet. Erfolgreiche Transformanten werden gegebenenfalls auf Grund von Ampicillinresistenz ausgewählt. Von den Transformanten werden Plasmide hergestellt, durch Restriktion analysiert und /oder nach dem Verfahren von Messing et al., 25 Nucleic Acids Res., Bd. 9 (1981), S. 309 oder nach dem Verfahren von Maxam et al., Methods in Enzymology, Bd. 65 (1980), S. 499 sequenziert.

Die Amplifikation von DHFR-Protein kodierenden Sequenzen
30 wird durchgeführt, indem man Wirtszellkulturen in Gegenwart von Methotrexat, einem kompetitiven Inhibitor der DHFRAtivität in Konzentrationen von etwa 20-500 000 nanomolar
züchtet. Der wirksame Konzentrationsbereich hängt natürlich stark von der Art des DHFR-Gens, dem Protein und den
35 Eigenschaften des Wirts ab. Im allgemeinen lassen sich klar
definierte obere und untere Grenzen nicht feststellen. Es
können auch geeignete Konzentrationen von anderen Folsäureanalogen oder anderen Verbindungen, die DHFR hemmen, ver-

l wendet werden. MTX selbst ist jedoch besonders zweckmässig, leicht zugänglich und wirksam.

# D. Allgemeine Beschreibung von bevorzugten Ausführungsformen

Humangewebe-Plasminogen-Aktivator wurde auf folgende Weise erhalten:

1. Humanmelanomzellen, die aktiv Gewebe-Plasminogen-Aktivator bildeten, wurden bis zur Konfluenz gezüchtet.

10

- 2. Zellpellets aus diesen Zellkulturen wurden in Gegenwart von Ribonuclease-Inhibitoren gezüchtet, um die gesamte, zytoplasmatische RNA zu isolieren.
- 153. Eine oligo-dT-Säule isolierte die gesamte messenger-RNA (mRNA) in polyadenylierter Form. Diese mRNA wurde der Grössenfraktionierung unter Anwendung der Säure-Harnstoff-Agarosegel-Elektrophorese unterzogen.
- 20 4. Die Gelfraktion mit einem Gehalt an Gewebe-PlasminogenAktivator-spezifischer RNA wurde auf folgende Weise
  identifiziert: Die RNA der einzelnen Gelfraktionen wurde
  in einem Kaninchen-Reticulocytenlysat- in vitro- System,
  ergänzt mit Hundepankreas-Mikrisomen, translatiert. Die
  erhaltenen Translationsprodukte wurden dann mit Humangewebe-Plasminogen-Aktivator-spezifischem IgG-Antikörper
  immunopräzipitiert.
- 5. Die geeignete RNA (21 bis 24S) wurde in die entsprechende einzelsträngige, komplementäre DNA (cDNA) übergeführt, aus der doppelsträngige cDNA gebildet wurde. Nach polydC-Schwänzen wurde es in einen Vektor eingesetzt, beispielsweise in ein Plasmid, das einen oder mehrere phänotypische Marker trug.

35

6. Die auf diese Weise hergestellten Vektoren wurden zur Transformation von Bakterienzellen unter Bildung einer geklonten cDNA-Bibliothek verwendet. Ein Pool von radio-

- aktiv markierten, synthetischen Desoxyoligonucleotiden, die komplementär zu den Kodons für bekannte Aminosäuresequenzen in t-PA waren, zum Beispiel der Pool von 8 14-meren
- 5'-dtC(A)CA(A)TA(T)TCCCA-3' (komplementär zu den Sequenzen, die für die bekannte (vgl. unten) Aminosäuresequenz:
  Tryptophan-Glutaminsäure-Tyrosin-Cystein-Asparaginsäure
  (W-E-Y-C-D) kodieren) wurde hergestellt und zur Markierung der Koloniebibliothek verwendet.
  - 7. Aus den positiven cDNA-Klonen wurde Plasmid-DNA isoliert und sequenziert.
- 8. Die sequenzierte DNA wurde dann in vitro zur Insertion in ein geeignetes Expressionsvehikel, das zur Transformation einer geeigneten Wirtszelle verwendet wurde, geschnitten. Die Wirtszelle wurde in einer Kultur gezüchtet, wodurch der gewünschte Humangewebe-Plasminogen-Aktivator gebildet wurde.
- 9. Der auf diese Weise gebildete Humangewebe-PlasminogenAktivator weist in seinem enzymatischen Serinproteaseteil etwa 251 Aminosäuren auf. Ferner besitzt er oberhalb davon eine einen "kringle" enthaltende Sequenz, von
  der zur Zeit angenommen wird, dass sie für die Fibrinbindung verantwortlich ist. Das reife Protein zuzüglich
  dessen Signalpräsequenz weist insgesamt 562 Aminosäuren
  auf.
- Das vorstehende Verfahren selbst gewährleistet die erfolgreiche Bildung von reinem t-PA. Erfindungsgemässe Verfahren
  unter Anwendung einer zusätzlichen kodierenden, gegenüber
  Methotrexat empfindlichen Sequenz erlauben die Bildung von
  antigenaktivem t-PA-Protein in Wirtszellkulturen in Mengen
  von mehr als 0,1 pg pro Zelle pro Tag. Bei entsprechender
  Anwendung von amplifizierenden Bedingungen können Mengen
  von mehr als 20 pg erhalten werden. Mit anderen Worten, es

llassen sich Genexpressionsgrade erreichen, die zur Bildung von mehr als 9 x  $10^{-6}$  Plough-Einheiten oder bei entsprechender Amplifikation von mehr als  $18 \times 10^{-4}$  Plough-Einheiten an t-PA-Aktivität führen.

5

Gemäss dieser Ausführungsform der Erfindung bedient man sich des Arzneistoffs Methotrexat, der zwar normalerweise für zur Aufnahme dieses Wirkstoffs fähige Zellen tödlich ist, der in Gegenwart von kontrollierten Konzentrationen an MTX 10 durch Amplifikation des Gens, das für die DHFR-kodierende Sequenz kodiert, Zellwachstum ermöglicht (R: T. Schimke et al., Science, Bd.202 (1978), S. 1051; J. L. Biedler et al., Cancer Res., Bd. 32 (1972), S. 153; S. E. Chang et al., Cell, Bd. 7 (1976), S. 391).

15

Diesbezüglich ist der Befund von Bedeutung, dass die Amplifikation des Gens für DHFR die Amplifikation von assoziierten Sequenzen, die für andere Proteine kodieren, verursachen kann. Dies erscheint der Fall zu sein, wenn es sich beim 20 assoziierten Protein um Hepatitis B-Oberflächenantigen (HBsAg) (J. Christman et al., Proc. Natl. Acad. Sci., Bd. 79 (1982), S. 1815), E. coli-Protein XGPRT (G. Ringold et al., J. Molec. and Appl. Gen., Bd. 1 (1981), S. 165) und eine endogene Sequenz aus einer DHFR/SV 40-Plasmidkombination 25 (R. F. Kaufman et al., J. Molec. Biol., Bd. 159 (1982), S. 601) handelt.

Andere Mechanismen, durch die eine Methotrexat-Resistenz verliehen werden kann, umfassen die Verminderung der Bin30 dungsaffinität für das DHFR-Protein, so dass es gegenüber Methotrexat weniger empfindlich wird (W. F. Flintoff et al., Somat. Cell Genet., Bd. 2 (1976), S. 245), aber in diesem Fall Amplifikation ebenfalls stattfindet.

35 Es scheint, dass die Gene für Wildtyp-DHFR und für DHFR, die gegenüber MTX resistent ist, auf Grund inrer eigenen verminderten Bindungskapazität durch die Gegenwart von MTX amplifiziert werden. Somit wird gemäss dieser Ausführungs-

form der Erfindung die Einwirkung der DHFR-Sequenzamplifikation auf assoziierte, proteinkodierende Sequenzen angewendet, um einen Kontrollmechanismus bereitzustellen, der verstärkte Expressionsgrade von t-PA-Sequenzen in Gegenwart von MTX oder aufgrund einer vorherigen Behandlung von transformierten Zellen mit MTX erlaubt.

Die Erfindung soll nachstehend durch Beispiele näher erläutert werden. In der dazugehörigen Zeichnung bedeuten:

- Fig. 1: zeigt 10 % SDS PAGE von mit anti t-PA IgG fällbaren <sup>35</sup>S-markierten Proteinen, extrahiert aus Melanom-zellen mit und ohne Proteaseinhibitor;
- Fig. 2: zeigt die Elektrophorese der immunopräzipitierten Translationsprodukte von aus Melanomzellen abgeleiteten mRNA-Fraktionen:
- Fig. 3: zeigt das Hybridisierungsmuster von 96 mit cDNA transformierten Kolonien unter Verwendung des Pools von 32P-markiertem 14-mer als Tracer, hergestellt auf der Basis einer 5-Aminosäuresequenz von human t-PA;
- Fig. 4: zeigt eine Restriktionsendonucleasekarte von human t-PA cDNA in voller Länge;
- Fig. 5a, 5b und 5c zeigen die Nucleotidsequenz und abgeleitete Aminosäuresequenz von human t-PA cDNA in voller Länge;

14.11.1983 AP C 12 N/250 611/4 62 422/12

- Fig. 6: zeigt ein Schema des Aufbaus des Expressionsplasmids p RIPA ;
- Fig. 7: zeigt die Ergebnisse eines Fibrin-Plattentests zur Bestimmung der fibrinolytischen Aktivität der mit p⊿RIPA<sup>O</sup> transformierten Zellen;
- Fig. 8: ist ein HPLC-Diagramm von Peptiden eines Trypsinverdauungsprodukts von human t-PA:
- Fig. 9: zeigt den Aufbau eines für die direkte Expression von reifem human t-PA in E. coli kodierenden Plasmids;
- Fig. 10: zeigt die Ergebnisse eines Fibrin-Plattentests zur Bestimmung der fibrinolytischen Aktivität von human t-PA, das durch mit pt-PAtrp12 transformiertes E. coli gebildet ist;
- Fig. 11: zeigt den Aufbau von DHFR (Mutante oder Wildtyp)/ t-PA, das zur Transformation in Säugetiergewebekulturzellen geeignete Plasmide kodiert;
  - Fig. 12: ist ein schematisches Diagramm des Humangewebe-Plasminogen-Aktivators, der gemäß der hier in E.1 erläuterten Methode hergestellt worden ist.

### Ausführungsbeispiel

In den Beispielen wurden eine E. coli-Wirtskultur und eine CHO-Zellinie, die sich für den Typ der einzuführenden DHFR-proteinkodierenden Sequenz eignet als Wirtszellkultur verwendet. Jedoch eignen sich auch andere eukaryontische und prokaryontische Zellen für das erfindungsgemäße Verfahren.

## E.1 Expression von human t-PA-Gen in E. coli

### E.1.A Beschreibung der Figuren

Fig. 1 ist ein Autoradiogramm eines 10prozentigen SDS-Acrylamidgels, das das oder die immunoprazipitierte(n)  $\sqrt{-35}$ S\_7-Methionin-markierte(n) Protein(e), darstellt, die aus Humanmelanomzellen in vivo während 3 Stunden sekretiert wurden, und zwar in Gegenwart (Reihe b) oder Abwesenheit (Reihe a) des Proteaseinhibitors Aprotinin. Nach der Immunopräzipitation mit Gewebe-Plasminogen-Aktivator-spezifischem IgG wurden drei Banden beobachtet (Reihe a), die Molekulargewichte von etwa 65 000, 63 000 bzw. 35 000 aufwiesen. In Gegenwart des Proteaseinhibitors wurde jedoch die Spezies mit einem Molekulargewicht von 35 000 nicht festgestellt. Durch die Immunopräzipitation wurden keine Produkte ausgefällt, wenn Präimmunserum verwendet wurde (Reihe c). Die Wanderungen und die Molekulargewichte von 14 C-markierten Proteinstandards sind liks von Reihe a wiedergegeben.

Fig. 2 zeigt die Elektrophorese der immunopräzipitierten Translationsprodukte von aus einem Säure-Harnstoff-Agarose-

- l gel isolierten RNA-Fraktionen. Eine Hauptbande wurde in den Fraktionen 7 und 8 nach Translation in Gegenwart von Hunde-pankreas-Mikrosomen unter anschliessender Immunopräzipitation mit Gewebe-Plasminogen-Aktivator-spezifischem IgG beo-
- 5 bachtet. Diese Bande weist ein Molekulargewicht von etwa 63 000 Dalton auf. Die Grösse der in den Fraktionen 7 und 8 wandernden mRNA beträgt etwa 21 bis 24 S. Die Positionen der ribosomalen RNA-Marker, die nach Elektrophorese am RNA-Harn-stoff-Gel bestimmt und durch Färben mit Ethidiumbromid sicht-
- 10 bar gemacht wurden, sind über den entsprechenden Gelreihen angegeben.
- Fig. 3 zeigt das Hybridisierungsmuster von 96 Kolonien mit dem \$^{32}P-dTC(^{A}\_G)CA(^{A}\_G)TA(^{C}\_T)TCCCA (W-E-Y-C-D)-Marker. 96 indi15 viduelle Transformanten wurden auf einer Mikrotiterplatte gezüchtet, replikaplattiert und auf einer Nitrocellulosemembran gezüchtet. Die Kolonien wurden sodann lysiert, die bakterielle DNA fixiert und die Filter mit \$^{32}P-14-mer (W20 E-Y-C-D)-Markern hybridisiert. Die Filter wurden zur Entfernung von nicht-hybridisiertem Marker gewaschen und auf Röntgenfilm aufgelegt. Das Autoradiogramm stellt die Muster von 48 einzelnen Filtern (4600 unabhängige Kolonien) dar. Ein Beispiel für einen positiven Gewebe-Plasminogen-Aktivator25 cDNA-Klon auf Filter Nummer 25 ist als E10 (Pfeil) gekennzeichnet.
- Fig. 4 ist eine Restriktionsendonuclease-Karte der vollen Länge von Humangewebe-Plasminogen-Aktivator-cDNA. Die An30 zahl und die Grösse der durch die Spaltung mit Restriktionsendonuclease gebildeten Fragmente wurde durch Elektrophorese an 6 prozentigen Acrylamidgelen bestimmt. Die Positionen der Stellen wurden durch Nucleinsäuresequenz (in Fig. 5 wiedergegeben) bestätigt. Der kodierende Bereich des grössten offenen Leserasters ist durch ein Kästchen gekennzeichnet. Der schraffierte Bereich stellt die mutmassliche Signalpeptidsequenz dar, während der punktierte Bereich die mutmassliche Sequenz von reifem Gewebe-Plasminogen-Aktivator

- 1 (527 Aminosauren) wiedergibt. Das 5'-Ende von mRNA befindet sich auf der linken Seite und das 3'-Ende auf der rechten Seite.
- 5 Die Figuren 5A,5B und 5C erläutern die Nucleotidsequenz und die abgeleitete Aminosäuresequenz von Humangewebe-Plasminogen-Aktivator-cDNA in voller Länge. Die der reifen Sequenz vorhergehenden 35 Aminosäuren (-35 bis -1) sind als ununterbrochene Sequenz dargestellt. Es wird angenommen, dass die-
- 10 se Sequenz mit 35 Aminosäuren aus einer hydrophilen "pro"-Sequenz mit etwa 12 bis 15 Aminosäuren, die dem Serin (+1) des reifen Proteins vorausgeht, und einem dieser "pro"-Sequenz vorausgehenden "herkömmlichen" hydrophoben Signal (sich erstreckend von 5' bis -35) besteht. Dieser Typ von
- 15 prä-pro-Struktur an sekretierten Proteinen wurde bereits früher beschrieben, zum Beispiel für Präproalbumin. Gemäss dieser Theorie beginnen sämtliche sekretierten Gewebe-Plasminogen-Aktivator-Moleküle mit dem Serin (+1) als Aminoende. Eine zweite Theorie besteht darin, dass die hydrophile Se-
- 20 quenz an der Funktion von Gewebe-Plasminogen-Aktivator auf analoge Weise beteiligt sein kann, wie sie ein bei Plasminogen, bei dem ein Peptid mit 10 000 Dalton vom aminoterminalen Bereich des nativen Plasminogen (Glu-Plasminogen, benannt nach dem aminoterminalen Ende) gespalten werden kann,
- 25 beobachtet wurde, wodurch ein kleineres Molekül mit einem neuen Aminoende, bezeichnet als Lys-Plasminogen, erhalten wird. Lys-Plasminogen wird leichter zu Plasmin aktiviert und hat auch eine grössere Affinität für Fibrin als Glu-Plasminogen. Es wurde gezeigt, dass Plasmin die Umwandlung
- 30 von Glu- in Lys-Plasminogen katalysiert. Diese Art von Kontrollmechanismuns bewirkt einen "positiven feedback"- Mechanismus. Die ersten Mengen an gebildetem Plasmin bewirken neben dem Abbau von Fibrin auch eine Bildung von Plasminogenmolekülen, die leichter aktiviert werden, und gehen
- 35 auch eine festere Bindung mit ihrem Substrat als natives Plasminogen ein. Es ergibt sich ein rascherer Abbau von Fibrin. Das hydrophile Peptid des Gewebeplasminogen-Aktivators könnte an einem ähnlichen Mechanismus beteiligt sein, so

- 1 dass dessen Spaltung eine modifizierte Bindung des Enzyms an Fibrin ergibt. In jedem Fall wird die 35-Aminosäuresequenz als Präsequenz für das reife Protein angesehen.
- 5 Fig. 6 ist ein schematisches Diagramm des Aufbaus eines Gewebeplasminogen-Aktivators-Expressionsplasmids pΔRIPA°. Das Ausgangsplasmid pPA25E10 wurde zunächst mit PstI verdaut, um ein 376 bp-Fragment zu isolieren, das sodann gemäss den Angaben dieser Figur verdaut wurde.
- Fig. 7 zeigt das Ergebnis eines Fibrinplattentests zur Bestimmung der fibrinolytischen Aktivität des über p $\Delta$ RIPA $^{\circ}$  in transformierten Zellen erhaltenen Expressionsprodukts.
- 15 Fig. 8 ist ein HPLC-Diagramm von Peptiden aus einem Trypsin-Verdauungsprodukt von Gewebe-Plasminogen-Aktivator (Absorption bei 210 nm). Der Pfeil identifiziert den Peak, der dem Peptid entspricht, das zur Bezeichnung des bei der Koloniebibliothek verwendeten Nucleotid-Markers verwendet wurde.
- 20 Das diesem Peak entsprechende Peptid wies folgende vollständige Sequenz auf: L-T-W-E-Y-C-D-V-P-S-C-S-T-C-G-L. Die anderen Hauptpeaks wurden in ähnlicher Weise sequenziert und führten zu einer Bestätigung der korrekten Aminosäuresequenz von Humangewebe-Plasminogen-Aktivator. Zur Bezeich-
- 25 nung der Aminosäuren in den Peptiden wurden folgende, einbuchstabige Symbole verwendet:

	Asp	D .	Asparaginsäure	Ile	I	Isoleucin
	Thr	T	Threonin	Leu	L	Leucin
30	Ser	S	Serin	Tyr	Υ	Tyrosin
	Glu	E	Glutaminsäure	Phe	F	Phenylalanin
	Pro	Þ	Prolin	His	Н	Histidin
	Gly	G '	Glycin	Lys	K	Lysin
	Ala	A ·	Alanin	Arg	R	Arginin
	Cys	, C	Cystein	Trp	W	Tryptophan
	Val	V	Valin	Gln	Q	Glutamin
	Met	М	Methionin	Asn	N	Asparagin

- 1 Fig. 9 zeigt den Aufbau eines für die direkte Expression von reifem Humangewebe-Plasminogen-Aktivator in E. coli kodierenden Plasmids. 50 μg Plasmid pPA17 wurden mit Sau3AI, HincII und HhaI verdaut und der Elektrophorese an 6 prozen-
- 5 tigem Polyacrylamidel unterworfen. Etwa 0,5 μg des 55 bp Sau3AI-HhaI-Fragments wurden gewonnen. In ähnlicher Weise wurden etwa 3 μg des 263 bp HhaI-NarI-Fragments aus 80 μg des Ions pPA25E10 gereinigt, indem zunächst ein 300 bp PstI-NarI-Fragment isoliert und dieses Fragment mit HhaI
- 10 verdaut wurde. Sämtliche Verdauungsvorgänge wurden 1 Stunde bei 37°C durchgeführt. Die Reaktionsprokukte wurden aufgetrennt und der Elektroelution an 6 prozentigem Polyacrylamidgel unterworfen. Die beiden angegebenen Desoxyoligonucleotide 5' dAATTCATGTCTTATCAAGT (I) und 5' GATCACTTGATAAGACATG
- 15 (II) wurden nach der Festphasen-phosphotriester-Methode (51) synthetisiert. 100 pMol des Oligonucleotids II wurden in einem 30  $\mu$ l fassenden Reaktionsgemisch mit einem Gehalt an 60 millimolar Tris (ph-Wert 8), 10 millimolar MgCl<sub>2</sub>, 15 millimolar  $\beta$ -Mercaptoäthanol und 50  $\mu$ Ci  $\gamma$ -32 P7ATP (Amersham
- 20 5000 Ci mMol<sup>-1</sup>) phosphoryliert. 12 units T4-Polynucleotid-kinase wurden zugesetzt. Die Umsetzung wurde 15 Minuten bei 37°C durchgeführt. 1 ul 10 millimolar ATP und 12 units T4-Kinase wurden sodann zugesetzt und die Umsetztung wurde weitere 30 Minuten fortgesetzt. Nach Phenol/CHCl<sub>3</sub>-Extraktion
- 25 wurden das phosphorylierte Oligomer II und das 5'-Hydroxyloligomer I mit 0,5 μg des eluierten 55 bp Sau3AI-HhaI-Fragments und 2 μg des 263 bp HhaI-NarI-Fragments vereinigt und
  mit Äthanol gefällt. Diese Fragmente wurden 4 Stunden bei
  Raumtemperatur in 60 μl 20 millimolar Tris-HCl (ph-Wert 7,5),
- 30 10 millimolar MgCl<sub>2</sub>, 10 millimolar Dithiothreit, 0,5 millimolar ATP und 1000 units T4-DNA-Ligase verknüpft. Das Gemisch wurde 1 Stunde mit 48 units NarI, 20 units EcoRI und 40 units BglII (zur Beseitigung der Polymerisation durch Ligation von kohäsiven Sau3AI-Enden) verdaut und der Elek-
- 35 trophorese an 6 prozentigem Gel unterworfen. Das 338 bpProdukt (etwa 0,1 µg) wurde durch Elektroelution gewonnen.

  Der Rest der t-PA-kodierenden Sequenzen (Aminosäuren 111 bis
  528) wurden an einem 1645 bp-Fragment durch Verdauen des

1 Plasmids pPA25E10 mit NarI und BglII isoliert. Das Plasmid pLeIFAtrp103 ist ein Derivat des Plasmids pLeIFA25 (52), bei dem die EcoRI-Stelle distal zum LeIF A-Gen entfernt worden ist (53). 3 μg pLeIFAtrp103 wurden mit 20 units EcoRI 5 und 20 units BglII 90 Minuten bei 37°C verdaut, der Elektrophorese an 6 prozentigem Polyacrylamidgel unterworfen. Das grosse Vektorfragment ( 4200 bp) wurde durch Elektroelution gewonnen. Für den endgültigen Aufbau wurden 80 ng EcoRI-BglII pLeIFAtrp103 mit 100 ng des 1645 bp-NarI-BglII-Frag-10 ments und 20 ng des 338 bp-EcoRI-NarI-Fragments 10 Stunden bei Raumtemperatur verknüpft. Dieses Verknüpfungsgemisch wurde zur Transformation von E. coli K-12 Stamm 294 verwendet. Plasmid-DNA wurde aus 38 dieser Transformanten hergestellt mit EcoRI verdaut. 10 dieser Plasmide enthielten die 15 gewünschten 600 bp- und 472 bp-EcoRI-Fragmente. Die DNA-Sequenzanalyse bestätigte, dass eines dieser Plasmide (pt-PAtro12) die gewünschte Nucleotidsequenz an den Verbindungen zwischen trp-Promotor, synthetischer DNA und cDNA

20

aufwies.

Fig. 10 zeigt das Ergebnis eines Fibrinplattentests zur Bestimmung der fibrinolytischen Aktivität des erfindungsgemässen Gewebe-Plasminogen-Aktivator-Expressionsprodukts. Eine über Nacht gezüchtete Kultur von E. coli W3110/pt-PAtrp12

- 25 in Luria-Brühe mit einem Gehalt an 5  $\mu$ g ml $^{-1}$  Tetracyclin wurde 1:100 in M9-Medium mit einem Gehalt an 0,2 Prozent Glucose, 0,5 Prozent Casaminsäuren und 0,5  $\mu$ g ml $^{-1}$  Tetracyclin verdünnt. Die Zellen wurden bei 37°C bis zu einem A $_{550}$ -Wert von 0,2 gezüchtet. Indolacrylsäure wurde in einer
- 30 Endkonzentration von 20  $\mu g/ml$  zugesetzt. Die Proben wurden bei einem  $A_{550}$ -Wert von 0,5 bis 0,6 ( $\sim$ 2 x 10  $^8$  Zellen  $ml^{-1}$ ) durch Zentrifugation gewonnen und sofort eingefroren. Die Zellpellets wurden in 6m Guanidin-hydrochlorid in einer Konzentration von 5 x 10  $^8$  Zellen /ml suspendiert, 10 Sekun-
- 35 den mit Ultraschall behandelt, 30 Minuten bei 24°C inkubiert und sodann 4 Stunden gegen 25 millimolar Tris-HCl vom pH-Wert 8,0 mit einem Gehalt an 250 millimolar NaCl, 0,25 millimolar EDTA und 0,01 Prozent Tween 80 dialysiert. Nach der

1 Dialyse wurden die Proben 2 Minuten bei 13 000 g zentrifugiert und 10 µl der Überstände wurden jeweils auf ihre Aktivität an Gewebe-Plasminogen-Aktivator analysiert. Gemäss dem Verfahren von Granelli-Piperno und Reich (87) wurde die 5 Platte 3,5 Stunden bei 37°C inkubiert, und die Lysiszonen wurden gemessen. Ein quantitativer Befund wurde durch Vergleich mit Verdünnungen einer Lösung von gereinigtem Melanomgewebe-Plasminogen-Aktivator erhalten.

### 10 E. 1.B Quelle für Gewebe-Plasminogen-Aktivator-mRNA

Es wurden Humanmelanomzellen (Bowes) verwendet. Die Melanomzellen wurden bis zur Bildung von konfluenten Monolayers in 100 ml Earles-Minimal-Essentiell-Medien, die mit Natrium-15 hydrogencarbonat (0,12 Prozent Endkonzentration), 2 millimolar Glutamin und 10 Prozent wärmeinaktiviertes, fötales Kälberserum ergänzt waren, gezüchtet. Zur Bestätigung, dass die Melanomzellen in Bezug auf die Bildung von Humangewebe-Plasminogen-Aktivator aktiv waren, wurden die Humanmelanom-20 zellen bis zur Konfluenz in einer 24 Vertiefungen aufweisenden Mikrotiterplatte entweder in Gegenwart oder Abwesenheit von 0,33 mikromolar Protease-Inhibitor Aprotinin gezüchtet. Die Zellen wurden einmal mit gepufferter Kochsalzlösung gewaschen und mit 0,3 ml serumfreiem, methioninfreiem Medium 25 versetzt. 75  $\mu$ Ci / $^{-35}$ S7-Methionin wurden zugesetzt. Die Zellen wurden 3 Stunden bei 37°C markiert. Nach der dreistündigen Markierungsdauer wurden die Medien von den Zellen abgetrennt und zur Immunopräzipitation entweder mit Gewebe-Plasminogen-Aktivator-spezifischem IgG oder Präimmunserum 30 behandelt (54). Die immunopräzipitierten Prudukte wurden der Elektrophorese an einem 10 prozentigen SDS-Acrylamidgel

# 35 E.1.C. Isolierung und Grössenfraktionierung von MessengermRNA

der Fluorigraphie unterworfen.

unterworfen. Das Scheibengel wurde fixiert, getrocknet und

Die gesamte RNA aus Melanomzellkulturen wurde im wesentli-

l chen nach dem Verfahren von Ward et al. (55) extrahiert. Die Zellen wurden durch Zentrifugation pelletisiert und sodann in 10 millimolar NaCl, 10 millimolar Tris-HCl vom pH-Wert 7,5, 1,5 millimolar MgCl<sub>2</sub> resuspendiert. Die Zellen wurden 5 durch Zugabe von NP-40 (Endkonzentration 1 Prozent) lysiert. Die Kerne wurden durch Zentrifugation pelletisiert. Der die gesamte RNA enthaltende überstand wurde durch mehrfache Phenol- und Chloroform-Extraktionen weiter gereinigt.Die wässrige Phase wurde auf eine NaCl-Konzentration von 0,2 m 10 gebracht. Anschliessend wurde die gesamte RNA durch Zugabe von 2 Volumina Äthanol ausgefällt. Zur Reinigung von mRNA aus den Gesamt-RNA-Präparaten wurde die oligo-dT-Cellulose-chromatographie angewandt (51). Typische Ausbeuten aus 10 g gezüchteten Melanomzellen betrugen 5 bis 10 mg Gesamt-RNA 15 und 50 bis 200 μg Poly(A) +-mRNA.

Die Fraktionierung von PolyA<sup>†</sup>-mRNA (200 μg) (56) wurde durch Elektrophorese an Harnstoff-Agarosegelen durchgeführt. Das Scheibenagarosegel (57, 58) bestand aus 1,75 Prozent Aga-20 rose, 0,025 m Natriumcitrat, pH-Wert 3,8 und 6 m Harnstoff. Die Elektrophorese wurde 7 Stunden bei 25 mA und 4°C durchgeführt. Das Gel wurde sodann mit einer Rasierklinge fraktioniert. Die einzelnen Scheiben wurden bei 70°C geschmolzen und zweimal mit Phenol und einmal mit Chloroform extra-25 hiert. Die Fraktionen wurden sodann mit Äthanol gefällt und anschliessend durch in vitro-Translation in einem Kaninchen-Reticulocytenlysat-System, Bethesda Research Lab. (59, 60), ergänzt mit Hundepankreas-Mikrosomen folgendermassen getestet: Translationen wurden unter Verwendung von 25 uCi 30 an  $/^{-35}$ S7-Methionin und 500 ng der einzelen Gelscheiben-RNA in einem Endvolumen von 30 µl mit einem Gehalt an 25 millimolar HEPES, 48,3 millimolar KCl, 10 millimolar Kreatinphosphat, 19 Aminosäuren jeweils 50 millimolar, 1,1 millimolar Magnesiumchlorid, 16,6 millimolar EDTA, 0,16 millimolar Dithiothreit, 8,3 mil-35 limolar Hämin, 16,6 µg/ml Kreatin-kinase, 0,33 millimolar Calciumchlorid, 0,66 millimolar EGTA, 23,3 millimolar Natriumchlorid durchgeführt.

- 1 Die Inkubationen wurden 90 Minuten bei 30°C durchgeführt. Hundepankreas-Mikrosomenmembranen, die aus rohen Mikrosomen unter Verwendung von EDTA zur Entfernung der Ribosomen hergestellt waren (61), wurden gemäss (62) mit Nuclease be-
- 5 handelt. Sie lagen im Translationsgemisch in einer Endkonzentration von 7A<sub>260</sub> units/ml vor. Die Translationsprodukte oder immunopräzipitierten Translationsprodukte wurden durch Elektrophorese an 10 prozentigen Polacrylamidgelen gemäss den nachstehenden Angaben in Natriumdodecylsulfat analysiert (63).
- 10 Die ungefärbten Plattengele wurden fixiert, getrocknet und der Fluorigraphie unterworfen (64).

Die erhaltenen Translationsprodukte aus den einzelnen Gelfraktionen wurden mit Kaninchen-anti-Humangewebe-Plasmino-

- 15 gen-Aktivator-spezifischem IgG immunopräzipitiert. Eine immunopräzipitierte Polypeptidhauptbande wurde bei der Translation der RNA-Fraktionsnummern 7 und 8 (Wanderung von 21 bis 24 S) mit einem Molekulargewicht von etwa 63 000 Dalton beobachtet. Diese Bande wurde nicht beobachtet, wenn
- 20 Präimmun-IgG zur Immunopräzipitation verwendet wurde, was darauf schliessen liess, dass diese Polypeptide für Gewebe-Plasminogen-Aktivator spezifisch waren.

## E.1.D Herstellung einer Koloniebibliothek mit einem Gehalt an Gewebe-Plasminogen-Aktivator-Sequenzen

5 μg gelfraktionierte mRNA (Gelscheibe 7 mRNA) wurden zur Herstellung von doppelsträngiger cDNA nach üblichen Verfahren (52,65,66) verwendet. Die cDNA wurde an 6 prozentigem

- 30 Polyacrylamidgel der Grössenfraktionierung unterworfen. cDNA mit mehr als 350 bp Länge (125 ng) wurde der Elektroelution unterzogen. 30 ng cDNA wurden mit desoxy(C)-Resten unter Verwendung von terminaler Desoxynucleotidyl-transferase (67) erweitert und mit 300 ng Plasmid-pBR322 (68), das in
- 35 ähnlicher Weise mit desoxy(G)-Resten an der Pst I-Stelle geschnitten war (67), verschweisst. Das verschweisste Gemisch wurde sodann in E. coli K12 Stamm 294 (ATCC 31446) transformiert. Es wurden etwa 4600 Transformanten erhalten.

#### 1 E.1.E Herstellung eines DNA-Markers

Gereinigter Humangewebe-Plasminogen-Aktivator wurde gemäss dem Verfahren der Literaturstellen 19 und 20 erhalten.

5

Das Molekül wurde zur Feststellung der Bereiche, die sich am besten zur Herstellung von synthetischen Markern eigneten, auf folgende Weise zerlegt:

- 10 Um die Proteine gegenüber einer Verdauung durch Trypsin empfindlich zu machen, wurden sie reduziert und carboxymethyliert. Eine 2 μg-Probe an Gewebe-Plasminogen-Aktivator wurde zunächst über Nacht bei Raumtemperatur gegen 0,01 Prozent Tween 80 dialysiert. Das lyophilisierte Protein wurde 15 sodann in 12 ml 0,56 m Tris-HCl-Puffer (pH-Wert 8,6) mit einem Gehalt an 8 m Harnstoff und 5 millimolar EDTA gelöst. Die Disulfidbindungen wurden durch Zugabe von 0,1 ml β-Mercaptoäthanol reduziert. Diese Reaktion wurde 2 Stunden bei 45°C unter Stickstoff durchgeführt. Die reduzierten Disul-20 fide wurden sodann durch Zugabe von 1,0 ml 1,4 m Jodessigsäure in 1 m NaOH zum Carboxymethylderivat alkyliert. Nach
- säure in 1 m NaOH zum Carboxymethylderivat alkyliert. Nach 20 Minuten bei Raumtemperatur wurde die Umsetzung durch 18-stündige Dialyse bei Raumtemperatur gegen 0,01 Prozent Tween 80 gestoppt. Sodann dann wurde lyophilisiert.

25

Das erhaltene, lyophilisierte, carboxymethylierte Protein wurde in 3 ml 0,1 m Natriumphosphatpuffer (pH-Wert 7,5) gelöst. Trypsin (TPCK) wurde in einem Verhältnis von 1:50 zugesetzt. Die Verdauung wurde bei 37°C durchgeführt. Nach

- 30 3, 6 bzw. 12 Stunden wurden jeweils Aliquotanteile (0,1 ml) entnommen. Eine zweite Trypsinzugabe erfolgte nach 12 Stunden.

  Nach 24 Stunden wurde die Umsetzung durch Einfrieren gestoppt. Sie wurde bis zur Injektion in die HPLC-Vorrichtung in gefrorenem Zustand gehalten. Der Verdauungsblauf wurde
- 35 durch SDS-Gele der Aliquotanteile ermittelt. Sämtliche Gele waren leer mit Ausnahme einer schwachen Bande am 3-Stunden-Aliquotanteil. Dies zeigt, dass das 24 Stunden-Verdauungs-produkt vollständig war und keine grossen Peptide enthielt.

l Eine Probe (etwa 0,5 ml) wurde in eine hochauflösende Altex C-8-Ultrasphere 5  $\mu$ -Säule mit zwei Durchläufen injiziert. Ein Acetonitrilgradient (1 bis 5 Prozent in 5 Minuten, 5 bis 35 Prozent in 100 Minuten, 35 bis 50 Prozent in 30 Minuten) 5 wurde angewandt. In einer der beiden präparativen Durchläufe wurde das eluierte Produkt bei zwei Wellenlängen ( 210 und 280 nm) überprüft. Das Verhältnis der Absorptionen bei den beiden Wellenlängen wurde als Mass für den Tryptophangehalt der Peptide herangezogen.

10

20 werden.

Die Peptidpeaks, bei denen ein Tryptophangehalt am wahrscheinlichsten war, oder solche Peaks, die aus anderen Gründen als geeignet erschienen wurden, zuerst sequenziert. Dies
ermöglichte die Bestimmung der Sequenz um die meisten der
15 Tryptophanreste. Nach Sequenzieren von etwa 25 der bestgeeigneten Peptidpeaks wurden sämtliche zusammenpassenden
Sequenzdaten zu einem vorläufigen Modell der Primärstruktur
von Gewebe-Plasminogen-Aktivator vereinigt. Aus diesen Daten
und dem Modell konnten mehrere mögliche Tracer festgestellt

# E.1.F Identifikation von Bakterienklonen mit einem Gehalt an Gewebe-Plasminogen-Aktivator-cDNA-Sequenzen

25 Die Kolonien wurden einzeln in Vertiefungen von Mikrotiterplatten mit einem Gehalt an LB (93) + 5 μg/ml Tetracyclin
gebracht und nach Zugabe von DMSO auf éine Konzentration von
7 Prozent bei -20°C gelagert. Zwei Kopien der Koloniebibliothek wurden auf Nitrocellulosefiltern gezüchtet. Die DNA
30 einer jeden Kolonie wurde gemäss dem Grunstein-Hogness-Verfahren (69) am Filter fixiert.

Der  $^{32}$ P-markierte  $\mathrm{TC}(_{G}^{A})\mathrm{CA}(_{G}^{A})\mathrm{TA}(_{T}^{C})\mathrm{TCCCA}$ - Tracer wurde gemäss den vorstehenden Ausführungen aus dem synthetischen Oligo-35 menen (W-E-Y-C-D) 14-mer-Pool hergestellt. Filter mit einem Gehalt an 4600 Transformanten wurden 2 Stunden bei Raumtemperatur in 50 millimolar Natriumphosphat vom pH-Wert 6,8 5x SSC (80), 150 µg/ml mit Ultraschall behandeltes Lachs-

1 sperma-DNA, 5x Denhardt-Lösung (85), 10 Prozent Formamid prähybridisiert und anschliessend mit 50x 10<sup>6</sup> cpm des markierten Tracers in der gleichen Lösung hybridisiert. Nach Inkubation über Nacht bei Raumtemperatur 30 Minuten in 6x 5 SSC, 0,1 Prozent SDS, einmal in 2x SSC gewaschen und sodann 16 Stunden auf Kodak XR-5-Röntgenfilm unter Verwendung von Dupont Lightning Plus-Verstärkungsfiltern gelegt.

Plasmid-DNA wurde aus sämtlichen Kolonien nach einem 10 Schnellverfahren (71) isoliert, wobei sich eine positive Hybridisierungsreaktion ergab. Die cDNA-Inserts aus diesen Klonen wurden sodann nach Subklonierung von Fragmenten in den M13-Vektor mp 7 (73) und nach dem chemischen Verfahren gemäss Maxam Gilbert (74) sequenziert. Fig. 3 zeigt, dass 15 Filter Nummer 25 das Hybridisierungsmuster eines positiven Gewebe-Plasminogen-Aktivator-Klons aufweist. Das cDNA-Insert im Klon 25E10 erwies sich als DNA-kodierend für Gewebe-Plasminogen-Aktivator, was durch einen Vergleich von dessen Aminosäuresequenzen der Peptidsequenz (vgl. oben) von ge-20 reinigtem Gewebe-Plasminogen-Aktivator und durch dessen in E. coli gemäss den vorstehenden, näheren Angaben gebildeten Expressionsprodukt gezeigt wurde. Der Klon 25E10 war 2304 Basenpaare lang, wobei der längste, offene Ableseraster ein Protein von 508 Aminosäuren (Molekulargewicht 56 756) kodier-25 te und einen 772 bp-3'-nicht-translatierten Bereich enthielt. Diesem cDNA-Klon fehlten die N-terminalen, kodierenden Sequenzen.

## E.1.G Direkte Expression von Humangewebe-Plasminogen- Aktivator-Klon in E. coli

Bezugnehmend auf Fig. 6 wurden 50 µg pPA25E10 (vgl. oben) mit PstI verdaut. Das 376 bp-Fragment wurde durch Elektrophorese an 6 prozentigem Polyacrylamidgel isoliert. Etwa 353 µg dieses Fragments wurden durch Elektroelution aus dem Gel isoliert, mit 30 units Dde I 1 Stunde bei 37°C verdaut, mit Phenol und Chloroform extrahiert und mit Athanol gefällt. Die erhaltenen Dde I-kohäsiven Enden wurden durch

1 Zusatz von 5 units DNA-Polymerase I (Klenow-Fragment) und jeweils 0,1 millimolar dATP, dCTP, dCTP, dTTP zum Reaktionsgemisch und 8-stündige Inkubation bei 4°C zu stumpfen Enden erweitert. Nach Extraktion mit Phenol und Chloroform wurde 5 die DNA 2 Stunden mit 15 units Nar I verdaut. Das Reaktionsgemisch wurde der Elektrophorese an 6 prozentigem Polyacryl-

gemisch wurde der Elektrophorese an 6 prozentigem Polyacrylamidgel unterworfen. Etwa 0,5 µg des gewünschten 125 bp-stumpfendigen Nar I-Fragments wurden gewonnen. Dieses Fragment kodiert für die Aminosäuren Nummer 69 bis 110 von rei-10 fem Gewebe-Plasminogen-Aktivator-Protein voller Länge.

Zur Isolation des 1645 bp-Nar I - Bgl II-Fragments wurden 30 µg pPa25E10 mit 30 units Nar I und 35 units Bgl II 2 Stunden bei 37°C verdaut. Das Reaktionsgemisch wurde der 15 Elektrophorese an 6 prozentigem Polyacrylamidgel unterworfen. Etwa 6 µg des gewünschten 1645 bp-Nar I - Bgl II-Fragments wurden gewonnen.

p ΔRISRC ist ein Derivat des Plasmids Das Plasmid 20 pSRCex16 (79), bei dem die Eco RI-Stellen proximal zum trp-Promotor und distal zum SRC-Gen durch Reparatur mit DNA-Polymerase I (28) entfernt waren: Das selbst komplementäre Oligodesoxynucleotid AATTATGAATTCAT (hergestellt nach dem Phosphortriester-Verfahren (75)) wurde in die verbleibende 25 Eco RI-Stelle unmittelbar neben der Xba I-Stelle einge $p\Delta$ RISRC wurden vollständig mit Eco RI versetzt. 20 µg daut, mit Phenol und Chloroform extrahiert und mit Athanol gefällt. Das Plasmid wurde sodann mit 100 units Nuclease SI 30 Minuten bei 16°C in 25 millimolar Natriumacetat (pH-30 Wert 4,6) mit einem Gehalt an 1 millimolar ZnCl, und 0,3 m NaCl verdaut, um ein stumpfes Ende mit der Sequenz ATG zu schaffen. Nach Extraktion mit Phenol und Chloroform und nach Athanolfällung wurde die DNA mit Bam HI verdaut, der Elektrophorese an 6 prozentigem Polyacrylamidgel unterworfen. 35 und das grosse Vektorfragment (4300 bp) wurde durch Elektro-

elution gewonnen.

1 Das Expressionsplasmid wurde durch 7-stündige Ligation bei Raumtemperatur von 0,2 μg Vektor, 0,06 μg des 125 bp-stumpfendigen Nar I-Fragments und 0,6 μg des 1645 bp-Nar I - Bgl II-Fragments mit 10 units T<sub>4</sub>-DNA-Ligase aufgebaut. Die-5 ses wurde zur Transformation von E. coli Stamm 294 (ATCC 31446) zur Verleihung von Ampicillinresistenz verwendet. Plasmid-DNA wurde aus 26 der Kolonien hergestellt und mit Xba I und Eco RI verdaut. 12 dieser Plasmide enthielten die gewünschten 415 bp Xba I-Eco RI- und 472 bp-Eco RI-Fragmen-10 te. Die Analyse der DNA-Sequenz ergab, dass einige dieser Plasmide ein ATG-Initiationscodon aufwiesen, das korrekt am Start der Aminosäure Nummer 69 (Serin) plaziert war. Eines dieser Plasmide, p-RIPA°, wurde untersucht. Es ergab den gewünschten Gewebe-Plasminogen-Aktivator (Fig. 7).

E.1.H Gewebe-Plasminogen-Aktivator-cDNA von voller Länge

15

20

30

35

a.) Herstellung einer Koloniebibliothek mit einem Gehalt an N-terminalen Gewebe-Plasminogen-Aktivator-Sequenzen

0,4 μg des synthetischen Oligonucleotids
5'-TTCTGAGCACAGGGCG-3' wurden zum "Primen" von 7,5 μg
Gelfraktion Nummer 8 mRNA (vgl. oben) verwendet, um
nach üblichen Verfahren (65, 66) doppelsträngige cDNA
herzustellen. Die cDNA wurde der Grössenfraktionierung
an 6 prozentigem Polyacrylamidgel unterworfen. Eine
Fraktion von mehr als 300 bp (36 ng) wurde der Elektroelution unterworfen. 5 ng cDNA wurden mit desoxy(C)Resten unter Verwendung von terminaler Desoxycytidyltransferase (67) erweitert und mit 50 ng des Plasmids
pBR322 (68), das in ähnlicher Weise mit desoxy(G)-Resten
an der Pst I-Stelle geschnitten war (67), verschweisst.
Das verschweisste Gemisch wurde sodann in E. coli K12
Stamm 294 transformiert. Es wurden etwa 1500 Transformanten erhalten.

#### 1 b.) Southern-Hybrisierung von Humangenom-DNA

Da die cDNA-Primer-Reaktion unter Verwendung eines synthetischen Fragments, das 13 bp vom N-Ende des Klons

pPA25E10 hybridisierte, durchgeführt worden war, stand in diesem 29 bp-Bereich (der die 16-mer Sequenz umfasst) kein geeignetes Restriktionsfragment zum Screening der cDNA-Klone zur Verfügung. Daher war es erforderlich, ein Humangewebe-Plasminogen-Aktivator-Genom-Klon zu isolieren, um alle Primer-erweiterten cDNA-Klone mit einem Gehalt an N-terminalen Gewebe-Plasminogen-Aktivator-kodierenden Sequenzen zu identifizieren.

Bei der ersten Stufe dieses Verfahrens wurde festgestellt, dass in Humangenom-DNA nur ein einziges, homologes Ge-15 webe-Plasminogen-Aktivator-Gen vorhanden ist. Um dies festzustellen, wurde eine Southern-Hybridisierung durchgeführt. Bei diesem Verfahren (77) wurden 5 µg hochmolekulare Humanlymphocyten-DNA (hergestellt gemäss 80) vollständig mit verschiedenen Restriktionsendonucleasen 20 verdaut, der Elektrophorese an 1,0 prozentigen Agarosegelen unterworfen (81) und auf ein Nitrocellulosefilter geblottet (77). Ein <sup>32</sup>P-markierter DNA-Tracer wurde aus dem 5'-Ende des cDNA-Iserts des cDNA-Klons pPA25E10 25 (ein 230 op-Hpa II -RSA I-Fragment) hergestellt (76) und mit dem Nitrocellulosefilter hybridisiert (82).  $35 \times 10^6$  cpm des Tracers wurden 40 Stunden hybridisiert und sodann gemäss (82) gewaschen. Zwei Endonuclease-Verdauungsmuster zeigen nur ein einziges, hybridisierendes DNA-Fragment: Bgl II (5,7 Kbp) und Pvu II (4,2 kbp) 30 Zwei hybridisierende DNA-Fragmente wurden mit Hinc II (5,1 Kbp und 4,3 Kbp) beobachtet. Zusammen lassen diese Daten den Schluss zu, dass im Humangenom nur ein einziges Gewebe-Plasminogen-Aktivator-Gen vorhanden ist und dass dieses Gen mindestens eine Zwischensequenz (intervening sequence) enthält.

# lc.) Screening der Human- $\lambda$ -Phagenbibliothek auf Plasminogen-Aktivator-Gene

Die zur Identifizierung der A-Phagenrekombinanten, die die Gewebe-Plasminogen-Aktivator-Gene tragen, angewandte Strategie bestand 5 im Nachweis der Nucleotidhomologie mit einem aus dem Gewebe-Plasminogen-Aktivator-Klon pPA25E10 hergestellten, radioaktiven Tracers.1 Million rekombinante  $\lambda$ -Phagen wurden in einer Dichte von 10 000 pfu/15 cm Platte auf DP 50 Sup F ausgestrichen. Nitrocellulosefilter-Repli-10 kaplattierungen wurden von jeder Platte gemäss dem Verfahren von Benton und Davis (78) hergestellt. Eine 32 P-markierte DNA-Probe wurde nach üblichen Verfahren (83) aus einem 230 bp-Hpa II - Rsa I-Fragment, das sich in einer Entfernung von 34 bp vom 5'-Ende des Klons 15 p25E10 befand, hergestellt. Jeder Nitrocellulosefilter wurde bei 42°C zwei Stunden in 50 millimolar Natriumphosphat (pH-Wert 6,5), 5x SSC (77), 0,05 mg/ml mit Ultraschall behandelter Lachssperma-DNA, 5x Denhardt-Lösung (84), 50 Prozent Formamid prähybridisiert und so-20 dann mit 50 x 10° cpm der markierten Probe in der gleichen Lösung mit einem Gehalt an 10 Prozent Natriumdextransulfat hybridisiert (85). Nach Inkubation über Nacht bei 42°C wurden die Filter viermal bei 50°C 30 Minuten in 0,2x SSC, 0,1 Prozent SDS, einmal bei Raumtemperatur 25 in 2x SSC gewaschen und sodann über Nacht auf Kodak XR-5-Röntgenfilme unter Verwendung von Dupont-Cronex-Verstärkungsfiltern aufgelegt. Insgesamt wurden 19 mit dem Tracer hybridisierte Klone erhalten. Phagen-DNA wurde gemäss den vorstehenden Angaben (86) aus 6 Re-30 kombinanten hergestellt. Der 1-Klon C wurde zur Herstellung eines Pvu II-Fragments zum Kolonienscreening verwendet. 30 ug DNA wurden 1 Stunde bei 37°C mit Pvu II verdaut und der Elektrophorese an 1,0 prozentigem Agarosegel unterworfen. Ein 4,2 Kbp-Fragment, in dem vor-35 her der Gehalt an Gewebe-Plasminogen-Aktivator-Sequenzen nachgewiesen worden war, wurde der Elektroelution unterworfen und gereinigt. Ein <sup>32</sup>P-markierter Tracer

wurde nach üblichen Verfahren (83) für Kolonienhybridisierungen gemäss den vorstehenden Angaben hergestellt.

## d.) <u>Screening der Koloniebibliothek für 5'-Gewebe-Plasmino-</u> 5 <u>gen-Aktivator-Sequenzen</u>

10

15

20

25

30

35

Die Kolonien wurden von Platten übertragen und auf Nitrocellulosefiltern gezüchtet. Die DNA der einzelnen Kolonien wurden am Filter gemäss dem Verfahren von Grunstein-Hogness (69) fixiert. Ein <sup>32</sup>P-markierter Tracer wurde durch Kalbsthymus-Primen (83) eines 4,2 kbp-Pvu II-Fragments aus einem isolierten Gewebe-Plasminogen-Aktivator-L-Genomklon hergestellt. Filter mit einem Gehalt an 1500 Transformanten wurden mit 112 x 10<sup>6</sup> cpm des <sup>32</sup>P-Genom-Pvu II-Fragments hybridisiert.

Die Hybridisierung wurde 16 Stunden unter den Bedingungen gemäss Fritsch et al. (82) durchgeführt. Die Filter wurden gründlich gewaschen und sodann 16 bis 48 Stunden auf Kodak XR-5-Rontgenfilme unter Verwendung von Dupont-Lightning-Plus-Verstärkungsfiltern aufgelegt. 18 Kolonien hybridisierten klar mit der Genomprobe. Plasmid-DNA wurde aus jeder dieser Kolonien isoliert, an Nitrocellulosefilter gebunden und mit den für die ursprüngliche Primer-Reaktion verwendeten <sup>32</sup>P-markierten, synthetischen Oligonucleotid (16-mer) hybridisiert. Von den 18 Klonen hybridisierten 7 mit dem der Kinasebehandlung unterworfenen 16-mer. Bei der Sequenzanalyse nach Subklonierung der Fragmente in den m13-Vektor mp (73) ergab sich für einen Klon (pPA17), dass er den korrekten 5'-N-terminalen Bereich von Gewebe-Plasminogen-Aktivator, eine Signalleitsequenz (signal leader sequence) und einen 84 op-5'-nicht-translatierten Bereich enthielt. Aus den beiden Klonen pPA25E10 und pPA17 wurde die vollständige Nucleotidsequenz gemäss Fig. 5 und das Restriktionsmuster (Fig. 4) von Gewebe-Plasminogen-Aktivator-Klon von voller Länge bestimmt.

- Beim nativen Gewebe-Plasminogen-Aktivator-Molekül besteht die Möglichkeit zur Stabilisierung durch 17 Disulfidbrücken, basierend auf der Homologie mit anderen Serinproteasen. Es gibt vier potentielle N-Glykosylie-
- rungsstellen, drei in den "kringle"-Bereichen bei asn 117, asn 184, asn 218 und eine potentielle Stelle im gleichen Kettenbereich bei asn 148. Variationen in der Struktur der Oligosaccharid-Liganden können für die unterschiedlichen molekularen Formen (mit Molgewichten von 65 000 bzw. 63 000) verantwortlich sein.

# E.1.I Direkte Expression von Gewebe-Plasminogen-AktivatorcDNA-Klon voller Länge in E. coli

- 15 Eine Rekonstruktion der gesamten kodierenden Sequenz war unter Verwendung der gemeinsamen Hha I-Restriktionsendonuclease-Stelle, die beide partiellen Klone pPA17 und pPA25E10 gemeinsam besitzten, möglich. Ein 55 bp-Sau3AI-HhaI-Restriktionsfragment, das den Aminosäuren 5-23 ent-
- 20 sprach, wurde aus dem Plasmid pPA17 isoliert. Die Sau3AIRestriktionsstelle befand sich am Kodon 4 der angenommenen
  reifen, kodierenden Sequenz und wurde zur Entfernung des das
  Signalpeptid kodierenden Bereichs verwendet. Ein 263 bpHhaI NarI-Fragment (kodierend für die Aminosäuren 24-110)
- 25 wurde ebenfalls aus dem Plasmid pPA25E10 isoliert. Zwei synthetische Desoxyoligonucleotide wurden hergestellt, die die Kodons für die Aminosäuren 1-4 wiederherstellen, ein ATG-translationales Initiationskodon einverleiben und ein Eco RI-kohäsives Ende schaffen. Diese drei Fragmente wurden so-
- 30 dann unter Bildung eines für die Aminosäuren 1-110 kodierenden 338 bp-Fragments miteinander verknüpft. Dieses Fragment und ein 1645 bp-Nar I Bgl II-Fragment aus pPA25E10 wurden sodann zwischen den Eco RI- und Bgl II-Stellen des Plasmids pLeIFAtrp 103 (53) unter Bildung des Expressionsplasmids
- 35pt-PAtrp12 verknüpft. Das geklonte t-PA-Gen wurde unter der Kontrolle eines 300 bp-Fragments von E. coli-trp-Operon, das den trp-Promotor, Operator und die Shine-Dalgarno-Sequenz des trp-Leitpeptids enthält, aber das Leitpeptid

1 ATG-Initiationskodon nicht enthält, transkribiert (52).

E. coli K12 Stamm W3110 (ATCC 27325) mit einem Gehalt am Plasmid pt-PAtrp12 wurde gezüchtet. Extrakte wurden zur Be-5 stimmung der fibrinolytischen Aktivität hergestellt. Eine Methode zur Messung der Gewebe-Plasminogen-Aktivator-Aktivität war der Fibrinplattentest (87). Dabei wird die Menge an gebildetem Plasmin gemessen, indem man das Ausmass der Plasminverdauung von Fibrin in einer Agaroseplatte mit einem 10 Gehalt an Plasminogen und Fibrin bestimmt. Plasmin ruft eine klare Lysiszone in der Fibrinplatte hervor. Aus der Fläche dieser Zone kann die Menge an in der Probe vorhandenem Gewebe-PLasminogen-Aktivator ermittelt werden. Werden Extrakte von pt-PAtrp12-Klonen auf die Gewebe-Plasminogen-Akti-15 vator-Aktivität unter Anwendung des Fibrinplattentests getestet, so ergibt sich eine klare Lysiszone. Diese fibrinolytische Aktivität wird durch anti t-PA- IgG aber nicht durch Präimmun-IgG oder anti- Urokinase-IgG genemmt. Keine Aktivität ergibt sich bei einem Extrakt, der aus Zellen her-20 gestellt ist, die zur Kontrolle das Leukocyteninterferonplasmid pLeIFAtrp103 enthalten. Unter Anwendung einer Eichkurve von gereinigtem t-PA lässt sich berechnen, dass etwa 20 units an extrahierter Aktivität pro 109 Zellen erhalten. wurden (für gereinigtes t-PA: 90 000 Plough-units = 1 mg) 25 (Fig. 10).

#### E.1.J Sequenzanalyse

- 1 Die gesammelten Edman-Zyklen wurden manuell zu 2-Anilino-5-thiazolinonderivaten umgesetzt. Das 1 Chlorbutan wurde unter Stickstoff getrocknet. Sodann wurde 1,0 n HCl in Wasser zum 2-Anilino-5-thiazolinon gegeben und 10 Minuten auf
- 570°C erwärmt, um eine Umwandlung in das 3-Phenyl-2-thiohydantoin (PTH-Derivat) durchzuführen. Der PTH-Aminosäurerest wurde sodann in 50 prozentigem Acetonitril in Wasser gelöst und in eine Hochdruck-Flüssigchromatographievorrichtung mit Phasenumkehr injiziert. Die einzelnen PTH-Amino-
- YO säuren wurden durch Vergleich der Retentionszeiten eines Standardgemisches von PTH-Aminosäuren, die in die Konversionsflasche eingeführt und wie ein Zyklus des Sequenziergeräts behandelt wurden, identifiziert.

# 15 E.1.K Tests zum Nachweis der Expression von Gewebe-Plasminogen-Aktivator

#### 1. Direkter Test der Plasminbildung

#### a. Theorie

- 20 Ein empfindlicher Test für Gewebe-Plasminogen-Aktivator lässt sich durchführen, indem man die durch den Gewebe-Plasminogen-Aktivator katalysierte Umwandlung von Plasminogen zu Plasmin ermittelt. Plasmin ist ein Enzym, für das chromogene Substratests zur Verfügung stehen. Diese Tests be-
- 25 ruhen auf der proteolytischen Spaltung eines Tripeptids von einer chromophoren Gruppe. Die Spaltungsgeschwindigkeit ist direkt proportional zur Spezifität und zur Konzentration der zu untersuchenden Protease. Die Grundlage für diesen Test ist die Bestimmung der Menge an Plasmin, die nach Inkubation
- 30 der den Gewebe-Plasminogen-Aktivator enthaltenden Lösung mit einer Plasminogenlösung entsteht. Je grösser die Aktivatormenge ist, desto grösser ist die Menge an gebildetem Plasmin. Plasmin wird auf Grund der Spaltung des chromogenen Substrats S2251 (Kabi Group, Inc., Greenwich, CT) gemessen.

#### b. Verfahren

35

Ein Aliquotanteil der Probe wird mit 0,10 ml 0,7 mg/ml Plasminogen (in 0,05 m Tris-HCl, pH-Wert 7,4 mit einem Gehalt

- 1 an 0,012 m NaCl) vermischt. Das Volumen wird auf 0,15 ml eingestellt. Das Gemisch wird 10 Minuten bei 37°C inkubiert und
  mit 0,35 ml S2251 (1,0 millimolare Lösung im vorgenannten
  Puffer) versetzt. Die Umsetzung wird 30 Minuten bei 37°C
- 5 fortgesetzt. Zur Beendigung der Reaktion werden 25 µl Eisessig zugesetzt. Die Proben werden zentrifugiert. Die Absorbtion bei 405 nm wird gemessen. Die quantitative Bestimmung der Aktivität erfolgt mittels eines Vergleichs mit einer Urokinase-Eichlösung. Die Testbedingungen zum Nachweis
- 10 des Gewebe-Plasminogen-Aktivators der vollen Länge werden durch Zugabe von 0,2 mg Fibrinogen zur Lösung modifiziert. Fibrinogen bewirkt eine Stimulierung der Aktivität des Gewebe-Plasminogen-Aktivators, wodurch sich eine etwas erhöhte Aktivität ergibt. Die Aktivität wird in Plough-units fest-
- 15 gehalten, wobei 90 000 Plough-units der Aktivität von 1 mg gereinigtem Gewebe-Plasminogen-Aktivator entsprechen.

## 2. Indirekter Test der Plasminbildung

#### a. Theorie

Es wurde ein empfindlicher Test auf die Aktivität an GewebePlasminogen-Aktivator entwickelt (87). Der Test beruht auf der Bestimmung der Plasminbildung durch Messung des Grads der Verdauung von Fibrin durch Plasmin in einer Agarplatte mit einem
Gehalt an Fibrin und Plasminogen. Plasmin bildet eine klare
Lysiszone in der Fibrinplatte. Die Fläche dieser Lysiszone
korreliert mit der Menge an Gewebe-Plasminogen-Aktivator in

#### b. Verfahren

der Probe.

30 Gemäss dem Verfahren von Granelli-Piperno und Reich (87) werden die Platten 3,5 Stunden bei 37°C inkubiert. Die Lysiszonen werden gemessen. Eine quantitative Bestimmung ergibt sich durch Vergleich mit einer Urokinase-Eichlösung.

# 35 E.1.L Nachweis der Gewebe-Plasminogen-Aktivator-Aktivität

1. Bakterielles Wachstum und Probenvorbereitung
Eine Kolonie von E. coli mit einem Gehalt an dem Plasmid

- 1 (pΔRIPA°) wurde in ein Teströhrchen mit einem Gehalt an 5 ml LB-Wachstumsmedium mit einem Gehalt an 20 μg/ml Ampi-cillin überimpft. Die Zellen wurden über Nacht bei 37°C gezüchtet. Eine Aliquotmenge dieser Kultur wurde 1:100 in
- 5 300 ml M-9-Medium mit einem Gehalt an 20  $\mu$ g/ml Ampicillin verdünnt. Die Zellen wurden 4 Stunden bei 37°C in einem Schüttelkolben gezüchtet, wobei sich eine Absorbtion bei 550 nm von 0,419 ergab. Die tryptophananaloge Indolacrylsäure wurde in einer Konzentration von 30  $\mu$ g/ml zugesetzt.
- 10 Die Zellen wurden 90 Minuten inkubiert, wobei sich eine Absorption bei 550 nm von 0,628 ergab. Die Zellen wurden durch Zentrifugation geerntet und in 0,8 ml 0,01 m Tris vom pH-Wert 8,0 mit einem Gehalt an 0,01 m EDTA resuspendiert. Die erhaltene Suspension wurde 18 Stunden bei Raumtemperatur
- 15 rasch gerührt. Die Probe wurde zentrifugiert. Der Überstand wurde auf die Aktivität an Gewebe-Plasminogen-Aktivator getestet.

Bezüglich der Expression von pt-PAtrp12 wird auf die aus-20 führliche Erläuterung zu Fig. 10 verwiesen.

#### 2. Aktivitätsnachweis

Die Tabellen I und II zeigen die Ergebnisse der Aktivierung von Plasminogen durch entsprechende E. coli-Extrakte. Es

- 25 bildet sich eine Aktivität, die von der Anwesenheit von Plasminogen abhängig ist (Tabelle I). Diese Aktivität wird nicht durch Präimmunserum von Kaninchen beeinflusst, wird aber durch Antiserum, das gegen aus gereinigten Melanomzellen abgeleiteten Gewebe-Plasminogen-Aktivator hergestellt wurde
- 30 (88), deutlich gehemmt (Tabellen I und II). Dies zeigt, dass E. coli-Extrakte eine Plasminogen aktivierende Aktivität erzeugen, die durch Antikörper gegen den Gewebe-Plasminogen-Aktivator gehemmt wird.
- 35 Fig. 7 zeigt das Ergebnis eines Fibrinplattentests auf fibrinolytische Aktivität. Eine Standardmenge an Urokinase wurde in die Mittelreihe in Konzentrationen (von links nach rechts) von 0,24, 0,14, 0,10, 0,05 und 0,02 Plough-units ge-

lgeben. Die untere Reihe enthält Proben von natürlichem Gewebe-Plasminogen-Aktivator mit der gleichen Enzymmenge in jeder Vertiefung. Die Vertiefungen enthalten (von links nach rechts) Gewebe-Plasminogen-Aktivator, anti-Plasminogen-Akt-5 vator plus Präimmunserum und Gewebe-Plasminogen-Aktivator plus Gewebe-Plasminogen-Aktivator-Antikörper. Die Vertiefungen in der oberen Reihe enthalten jeweils 8 µl der rekombinanten Gewebe-Plasminogen-Aktivator-E. coli-Extrakte. Die erste Vertiefung enthält das Extrakt allein, in der zweiten Vertiefung ist Präimmunserum zugesetzt und in der dritten Vertiefung sind Gewebe-Plasminogen-Aktivator-Antikörper zugesetzt. Es ist offensichtlich, dass das Präimmunserum natürlichen oder rekombinanten Gewebe-Plasminogen-Aktivator nicht beeinflusst und dass Gewebe-Plasminogen-Aktivator-15 Antikörper die Aktivität von natürlichen und von E. coli-Extrakten hemmen. Bezogen auf die Urokinase-Standards

15 Antikörper die Aktivität von natürlichen und von E. coli-Extrakten hemmen. Bezogen auf die Urokinase-Standards enthalten die Extrakte geringfügig weniger als 2,5 Ploughunits pro ml. Dies braucht den Vergleich mit dem in Tabelle I erhaltenen Wert von 1,3 Plough-units pro ml nicht scheuen.

In den Tabellen I und II sind die Ergebnisse der in E.1.K.

1.b. durchgeführten Tests zusammengestellt.

 $\frac{\text{Tabelle I}}{\text{25 Plasminogenaktivierung durch E. coli-Extrakte von Kulturen}}$  mit einem Gehalt an p $^{\Delta}$ R1PA

	Probe	A405	prozentuale Aktivität	berechnete Plough-Unit	s/ml
30	Extrakt (ohne Plasminogen)	0,043	(0)		
	Extrakt	0,451	(100)	 . 1,3	
	Extrakt plus Prä- immunserum	0,477	106	***	
35	Extrakt plus anti t-PA-Antikörper	0,079	9	***************************************	

Prozentuale Aktivität, berechnet durch Subtraktion des Leerwerts

1 (0,043) von den erhaltenen Werten und Division durch den vom Extrakt erhaltenen Wert.

Tabelle II

5 Plasminogenaktivierung durch E. coli-Extrakte von Kulturen von pt-PAtrp12

Probe	A405	prozentuale Aktivität
10 Extrakt	0,657	(100)
Extrakt plus Pro	äimmun- 0,665 -	101
Extrakt plus ant t-PA-Antikörper	i 0,059	9

15 Fig. 10 gibt die Ergebnisse eines Fibrinplattentests wieder, der mit Extrakten aus 10 Liter Fermentationskulturen von E. coli mit einem Gehalt an Gewebe-Plasminogen-Aktivator exprimierendem Plasmid durchgeführt wurde. Die fibrinolytische Aktivität des Gewebe-Plasminogen-Aktivators mit einem 20 Gehalt an dem Extrakt ist in Fig. 10 durch die Vertiefung A wiedergegeben. Diese fibrinolytische Aktivität wird durch anti-t-PA-IgG (Vertiefung C), aber nicht durch Präimmun-IgG (Vertiefung B) oder durch anti-Urokinase-IgG (Vertiefung D) gehemmt. Keine Aktivität ergibt sich bei einem Extrakt, der 25 aus Zellen hergestellt ist, die als Kontrolle das Leukocyten-interferonplasmid pLeIFAtrp103 enthalten (Vertiefung H).

# E.2 Herstellung von t-PA unter Verwendung von DHFR-Protein mit geringer Bindungsaffinität für MTX

30

#### E.2.A Vektoraufbau

Die Humangewebe-Plasminogen-Aktivator (t-PA) kodierende Sequenz wird in ein Expressionsplasmid mit einem Gehalt an 35 mutanter DHFR mit geringer Bindungsaktivität für MTX (beschrieben in der US-Anmeldung 459 151 vom 19. Januar 1983) gemäss folgendem Verfahren (vgl. Fig. 11) eingesetzt:

- 1 Drei Fragmente von überlappenden t-PA-Plasmiden, nämlich pPA25E10, pPA17 und pΔRIPA° (vgl. oben) wurden folgender-massen hergestellt: Plasmid pPA17 wurde mit Dde I verdaut, unter Verwendung von Klenow DNA-Polymerase I gefüllt und mit 5 PstI geschnitten. Das auf diese Weise gebildete Fragment mit etwa 200 bp mit einem Gehalt an der 5'-terminalen t-PA-Sequenz wurde isoliert. Das zweite t-PA-Fragment wurde durch Verdauen von pΔRIPA° mit PstI und NarI und Isolieren des Fragments mit etwa 310 bp erhalten. Das dritte t-PA-Fragment wurde 10 durch Verdauen von pFA25E10 mit NarI und BglII und Isolieren des etwa 1645 bp aufweisenden Fragments, das zusätzlich zu einem Grossteil des t-PA-kodierenden Bereichs einige 3'-nicht-translatierte Sequenzen enthält, erhalten.
- 15 Das Plasmid pE342, das HBV-Oberflächenantigen exprimiert (auch bezeichnet als pHBs348-E)) ist in der US-Patentanmeldung 326 980 vom 03. Dezember 1981 beschrieben. Kurz zusammengefasst, wurde die Startstelle des Simian-Virus SV 40 durch Verdauen von SV 40-DNA mit HindIII und Umwandeln der 20 HindIII-Enden zu Eco RI-Enden durch Zugabe eines Konverters (AGCTGAATTC) isoliert. Diese DNA wurde mit PvuII geschnitten und mit RI-Linkern versetzt. Durch anschliessende Verdauung mit Eco RI wurde das 348 bp-Fragment, das die Startstelle umspannt, durch Elektrophorese an Polyacrylamidgel und Elek-25 troelution isoliert und in pBR322 geklont. Das Expressionsplasmid pHBs348-E wurde durch Klonen des 1986 op-Fragments, das durch Eco RI-und BglII-Verdauung von HBV (Animal Virus Genetics, (Ch.5) Acad. Press, N.Y., 1980) (das das HBsAg kodierende Gen umspannt) erhalten worden ist, in das Plas-30 mid pML (Lusky et al., Nature, Bd. 293 (1981), S. 79) an den Eco RI- und BamHI-Stellen aufgebaut. (pML ist ein Derivat von pBR322, das eine Deletion unter Weglassen von Sequenzen, die eine Hemmung der Plasmidreplikation in Affenzellen bewirken, aufweist). Das erhaltene Plasmid (pRI-Bgl) 35 wurde dann mit Eco RI linearisiert, und das 348 bp-Fragment, das den SV 40-Startbereich repräsentiert, wurde in die Eco RI-Stelle von pRI-Bgl eingeführt. Das Startstellenfragment kann in beliebiger Orientierung eingesetzt werden. Da dieses

- 1 Fragment sowohl die frühen als auch die späten SV 40-Promotoren zusätzlich zur Replikationsstartstelle kodiert, konnten HBV-Gene unter der Kontrolle beider Promotoren je nach dieser Orientierung (pHBS348-E repräsentiert HBs, das unter
- 5 der Kontrolle des frühen Promotors exprimiert ist) exprimiert werden. pE342 ist durch teilweise Verdauung mit Eco RI, Füllen der Spaltungsstelle unter Verwedung von Klenow-DNA-Polymerase I und Rückligation des Plasmids modifiziert, wordurch die Eco RI-Stelle, die der SV 40-Ursprungsstelle
- 10 in pE342 vorausgeht, entfernt wird. Das erhaltene Plasmid, als pE342 ARI bezeichnet, wird mit Eco RI verdaut, unter Verwendung von Klenow-DNA-Polymerase I gefüllt und mit Bam HI. geschnitten. Nach Elektrophorese an Acrylamidgel wird das Fragment mit etwa 3500 bp auf die vorstehend erläuterte Wei-
- 15 se der Elektroelution unterworfen, mit Phenol/Chloroform extrahiert und mit Äthanol gefällt.

Der auf diese Weise hergestellte p342E-3500 bp-Vektor und die vorstehend beschriebenen t-PA-Fragmente mit etwa 2160

- 20 bp werden unter Anwendung von üblichen Techniken miteinander ligiert. Ein Plasmid mit einem Gehalt an den drei t-PA
  kodierenden Fragmenten in richtiger Orientierung wurde isoliert, charakterisiert und als pE342-t-PA bezeichnet. Dieses
  Plasmid wurde mit Sac II verdaut und mit bakterieller alka-
- 25 lischer Phosphatase (BRL) behandelt. Zur Erzeugung der DHFR-Sequenz (zusammen mit Kontrollsequenzen für dessen Expression) wurde ein Fragment mit etwa 1700 bp durch SacII-Verdauung von pEHER erzeugt. (pEHER ist ein Plasmid, das mutante DHFR exprimiert; vgl. US-Patentanmeldung 459 151
- 30 a.a.O.). Dieses Fragment wurde in das pE342-t-PA-Plasmid unter Bildung von pEdPAER400, einem Plasmid, das analog zu pEHER ist, mit der Ausnahme, dass der HBsAg kodierende Bereich durch die cDNA-Sequenzen aus t-PA ersetzt ist, ligiert.

#### 35 E.2.B Expression und Amplifikation der t-PA-Sequenz

pETPAER400 (pETPER) wurde gemäss dem Verfahren von Graham und Van der Eb (vgl. oben) sowohl in dhfr CHO-DUX B11-Zel-

- 1 len als auch in DHFR<sup>+</sup> CHO-K1 (ATCC CCL61) transfiziert.
   Transformierte dhfr<sup>-</sup>-Zellen wurden durch Züchtung in einem
   Medium mit einem Mangel an Glycin, Hypoxanthin und Thymidin
   ausgewählt. Transformierte DHFR<sup>+</sup>-Zellen wurden durch Züch5 tung in ≥100 nanomolar MTX ausgewählt. Kolonien, die im ent sprechenden Selektionmedium entstanden, wurden unter Ver wendung von Klonierungsringen isoliert und im gleichen Me dium auf mehrere Generationen vermehrt.
- 10 Zur Amplifikation wurden die Zellen aus den Kolonien in Medien mit einem Gehalt an  $5 \times 10^4$ ,  $10^5$ ,  $2.5 \times 10^5$ ,  $5 \times 10^5$  und  $10^6$  nanomolar MTX aufgeteilt und mehrmals passagiert. Die Zellen wurden in sehr niedrigen Zelldichten  $(10^2-10^3$  Zellen/Platte) in 10 cm-Schalen ausgestrichen. Die erhalte- 15 nen Kolonien wurden isoliert.

#### E.2.C Testmethoden

Die Expression von t-PA in den transfizierten, amplifizier-20 ten Kolonien kann zweckmässigerweise nach ähnlichen Verfahren bestimmt werden, wie sie vorstehend unter D.1.K.1.b angegeben sind:

Die Koamplifikation von DHFR- und t-PA-Sequenzen wird durch 25 Isolierung von DNA aus konfluenten Monolayers von amplifizierten Kolonien folgendermassen bestimmt: Konfluente Monolayers in 150 mm Platten werden mit 50 ml steriler PBS gewaschen und durch Zugabe von 5 ml 0,1 Prozent SDS, 0,4 m CaCl<sub>2</sub>, 0,1 m EDTA, pH-Wert 8 lysiert. Nach 5 bis 10 Minuten 30 wird das Gemisch entfernt, mit Phenol und Chloroform extrahiert und mit Äthanol gefällt. Die DNA wird in 1 ml (pro 150 mm-Platte) 10 millimolar Tris-HCl, pH-Wert 8,1 millimolar EDTA (TE) resuspendiert. 0,1 mg/ml RNase werden zugesetzt und die Lösung wird 30 Minuten bei 37°C inkubiert. Scatonn wird 0,1 Prozent SDS und 0,5 mg/ml Pronase (Sigma) zugegeben. Nach 3- bis 16-stündiger Inkubation bei 37°C wird die Lösung wieder mit Phenol und Chloroform extrahiert und mit Äthanol gefällt. Das DNA-Pellet wird in 0,5 ml Wasser

1 resuspendiert und mit Restriktionsenzymen verdaut. Etwa 5 bis 10 ug der verdauten DNA werden der Elektrophorese in einem Agarosegel (1 Prozent Agarose in Tris-Acetat-Puffer (40 millimolar Tris, 1 millimolar EDTA, mit Essigsäure auf 5 den pH-Wert 8,2 eingestellt)) unterworfen; vgl. Crouse et al., J. Biol. Chem., Bd. 257 (1982), S. 7887. Nachdem Bromphenolblau-Farbstoff im Gel 2/3 der Strecke nach unten gewandert ist, wird das Gel entfernt und mit Ethidiumbromid gefärbt. Nach Sichtbarmachen der DNA mit UV-Licht wird die 10 DNA gemäss dem Verfahren von Southern, J. Mol. Biol., Bd. 98 (1975), S. 503, auf Nitrocellulosefilter übertragen. Die Filter werden sodann mit einem der Nick-Translation unterworfenen Tracer, der aus dem 1700 bp-SacII-Fragment von pEHER (hergestellt und hybridisiert auf die vorstehend be-15 schriebene Weise) oder aus dem etwa 1970 bp umfassenden BglII-Fragment von pETPER hergestellt worden ist, unterzogen.

# E.3 Herstellung von t-PA in Konjunktion mit Wildtyp-DHFR-20 Protein

#### E.3.A Vektoraufbau

Auf analoge Weise wie beim Aufbau von pETPER wird ein Plas25 mid mit einem Gehalt an der DNA-Sequenz, die Wildtyp-DHFR
kodiert, nämlich pETPFR, aufgebaut. Der Aufbau erfolgt gemäss Beispiel C.1.A mit der Ausnahme, dass an Stelle des
Plasmids pEHER als Quelle für die DHFR-Protein-Gensequenz
das Plasmid pE342.HBV.E400.D22 (vgl. Genentech-Anmeldung
30 mit dem internen Aktenzeichen 100/92) verwendet wurde. Das
Plasmid pE342.HBV.E400.D22 ist das gleiche wie pEHER, mit
Ausnahme eines Unterschieds bezüglich eines einzigen Basenpaars zwischen Wildtyp- und Mutanten-DHFR. Somit ist das
erhaltene Plasmid pETPFR in jeder Weise zu pETPER analog,
35 mit der Ausnahme, dass die für Wildtyp-DHFR kodierende DNASequenz durch die Sequenz der Mutante ersetzt ist.

#### 1 E.3.B Expression der t-PA-Sequenz

pETPFR wurde zur Transfektion von CHO-Zellen mit DHFR-Mangel (Urlaub und Chasin, a.a.O.) unter Verwendung des Calcium-5 phosphat-Fällungsverfahrens gemäss Graham und Van der Eb verwendet. 21 Kolonien, die auf dem selektiven Medium (-HGT) entstanden, wurden durch Nachweis der Plasminbildung bestimmt. Dieser Nachweis erfolgte auf Grund der Verdauung von Fibrin in einer Agarplatte mit einem Gehalt an Fibrin und 10 Plasminogen gemäss Granelli-Piperno et al., J. Exp. Med., Bd. 148 (1978), S. 223.

Vier der besten positiven Klone wurden dann quantitativ auf Plasminbildung pro Zelle gemäss dem in D.2.C erläuterten 15 Verfahren getestet.

Auf Grund dieser quantitativen Bestimmung wurde festgestellt, dass die vier untersuchten Klone bei der Bestimmung von units/Zelle/Tag die gleiche oder eine vergleichbare Sekre20 tion von t-PA in das Medium aufwiesen. Subklone wurden hergestellt, indem Inocula aus zwei der Klone in getrennte Platten mit einem Gehalt an -HGT-Medium übertragen wurden. Zwei der erhaltenen Subklone, 18B und 1, wurden für die weitere Analyse herangezogen.

25

#### E.3.C Amplifikation und Grad der t-PA-Bildung

Die vorerwähnten Subklone wurden in einer Menge von 2 x 10<sup>5</sup>
Zellen pro 100 mm-Platten in 50 nanomolar MTX ausgestrichen,
30 um die Amplifikation zu fördern. Die überlebenden Zellen
ergaben bei der vorstehend beschriebenen Bestimmung in sämtlichen Fällen im Vergleich zur unverstärkten Menge an Gewebe-Plasminogen-Aktivator-Aktivität die 10-fache Aktivität.
Zwei dieser Klone wurden für die weitere Untersuchung aus35 gewählt und als 1-15 und 188-9 bezeichnet.

Der Subklon 1-15 wurde weiter durch überimpfen von 2 x  $10^5$  Zellen in 100 mm-Platten mit einem Gehalt an 500 nanomolar

1 MTX verstärkt. Die Bestimmung der auf diese Weise amplifizierten Zellen ergab einen weiteren Anstieg (etwa um das 3-fache) in Bezug auf die t-PA-Bildung. Bei quantitativer Bestimmung gemäss dem Verfahren von C.1.C ergaben sich Men-5 gen im Bereich von 7 x 10<sup>-4</sup> units/Zelle/Tag. Ein Teil dieser amplifizierten Zellen wurde sodann übertragen und in Gegenwart von 10 000 nanomolar MTX erhalten. Subklone von 1-15 und18B-9 wurden, nachdem sie etwa 1 bis 2 Monate unter den in Tabelle 1' angegebenen Bedingungen gehalten worden waren, 10 weiter getestet.

Tabelle 1'

	<u>Zellinie</u>	Wachstumsbedingungen	ng t-PA/Zelle/Tag*
15	1-15 <sub>500</sub>	500 nanomolar MTX 500 nanomolar MTX	$28.5 \times 10^{-3}$ $26.0 \times 10^{-3}$
	1-15 <sub>500</sub> 1-15 <sub>500</sub>	(-HGT-Medium, kein MTX) (-HGT-Medium, kein MTX)	$8.3 \times 10^{-3}$ $18.0 \times 10^{-3}$
	1-15 <sub>10</sub> 000 1-15 <sub>10</sub> 000	10 mikromolar MTX 10 mikromolar MTX	29,3 x 10 <sup>-3</sup> 49,0 x 10 <sup>-3</sup>
	18B-9 18B-9	50 nancmolar MTX 50 nancmolar MTX	$14,3 \times 10^{-3}$ $14,4 \times 10^{-3}$
25	18B-9 18B-9	(-HGT-Medium, kein MTX) (-HGT-Medium, kein MTX)	$14.3 \times 10^{-3}$ $14.4 \times 10^{-3}$
	1 . · · · · · · · · · · · · · · · · · ·	(-HGT-Medium, kein MTX) (-HGT-Medium, kein MTX)	$1.0 \times 10^{-3}$ $0.7 \times 10^{-3}$

<sup>\*</sup>t-PA im Kulturmedium wurde quantitativ durch einen Radioimmunoassay folgendermassen bestimmt: Gereinigter t-PA und
gereinigter, jodierter Tracer-t-PA, die aus Melanomzellen
abgeleitet waren, wurden Serienverdünnungen auf Konzentrationen von 12,5 bis 400 ng/ml in einem Puffer mit einem Gehalt an phosphatgepufferter Kochsalzlösung, pH-Wert 7,3,
0,5 Prozent Rinderserumalbumin, 0,01 Prozent Tween 80 und
35 0,02 Prozent NaN3 unterzogen. Entsprechende Verdünnungen
der zu untersuchenden Mediumproben wurden zu radioaktiv
markierten Tracerproteinen gegeben. Man liess die Antigene
über Nacht bei Raumtemperatur in Gegenwart einer 1:10 000Verdünnung der IgG-Fraktion von Kaninchen-anti-t-PA-Anti-

1 serum inkubieren. Der Antikörper-Antigen-Komplex wurde durch
zweistündige Absorption bei Raumtemperatur an Ziegen-antiKaninchen-IgG-Immunokügelchen (Immunobeads, BioRad) präzipitiert. Die Kügelchen wurden durch Zugabe von KochsalzlösungVerdünnungsmittel geklärt und sodann 10 Minuten bei 2000 g
bei 4°C zentrifugiert. Die Überstände wurden verworfen. Die
5 Radioaktivität der Niederschläge wurde ermittelt. Die Konzentrationen wurden durch Vergleich mit Eichstandards festgelegt.

Es handelte sich um folgende Zellinien: Zellinie "1" ist ein nicht-amplifizierter Klon aus dem ursprünglichen Satz von vier Klonen. "1-15<sub>500</sub>" ist ein amplifizierter Subklon der Zellinie "1", die zunächst in 50 nanomolar MTX unter Bildung von 1-15 amplifiziert und sodann zur weiteren Amplifikation in 500 nanomolar MTX übertragen worden ist.

15 1-15 10 000 ist ein Subklon von 1-15 500, der weiter in Gegenwart von 10 000 nanomolar MTX amplifiziert worden ist. Die Zellinie 18B-9 ist ein Subklon von einem der ursprünglichen vier nachgewiesenen Klone, der mit 50 nanomolar MTX amplifiziert worden ist.

20

Sämtliche amplifizierten Zellen zeigen eine erhöhte t-PA-Bildung im Vergleich zur nicht-amplifizierten Zellkultur. Auch die nicht-amplifizierte Kultur bildet t-PA-Mengen von mehr als 0,5 pg/Zelle/Tag. Durch Amplifikation nähert man sich der Menge von 50 pg/Zelle/Tag.

#### F. Arzneimittel

Die Verbindungen der Erfindung können nach an sich bekannten 30 Verfahren zu Arzneimitteln formuliert werden, wobei das erfindungsgemässe Humangewebe-Plasminogen-Aktivator-Produkt mit einem pharmakologisch verträglichen Träger vermischt wird. Entsprechende Träger und deren Herstellung, unter Einschluss von anderen Humanproteinen, wie Humanserumalbumin, 35 sind zum Beispiel in Remington's Pharmaceutical Sciences,

E. W. Martin, erläutert. Diese Arzneimittel enthalten eine wirksame Menge des erfindungsgemässen Proteins zusammen mit einer entsprechenden Trägerstoffmenge, so dass pharmakolo-

1 gisch verträgliche Arzneimittel, die sich zur wirksamen Verabreichung an einen Wirt eignen, gebildet werden.

Beispielsweise kann der erfindungsgemässe Humangewebe-Plas5 minogen-Aktivator parenteral an Patienten, die an kardiovaskulären Krankheiten oder Zuständen leiden, verabreicht
werden. Die Dosierung bei Patienten mit Pulmonarembolie kann
entsprechend der gegenwärtigen Praxis bei klinischen Untersuchungen von anderen kardiovaskulären, thrombolytischen
10 Mitteln erfolgen, zum Beispiel durch eine intravenöse Anfangsdosis von etwa 440 IU/kg Körpergewicht, gefolgt von
einer 12-stündigen, kontinuierlichen, intravenösen Infusion
von etwa 440 IU/kg/Stunde.

- 15 Ein Beispiel für eine entsprechende Dosierungsform für im wesentlichen homogenen Humangewebe-Plasminogen-Aktivator zur parenteralen Verabreichung sind Fläschchen mit einem Gehalt an 25 000 IU Gewebe-Plasminogen-Aktivator-Aktivität, 25 mg Mannit und 45 mg NaCl, die für die intravenöse Verab-20 reichung mit 5 ml sterilem Wasser für Injektionszwecke rekonstituiert und mit einem entsprechendem Volumen an 0,9 prozentiger Natriumchloridlösung oder 5 prozentiger Dextroselösung für Injektionszwecke vermischt werden können.
  - 25 G. Ausführliche Beschreibung von rekombinanter human t-PA

Die Struktur des gemäss den Beispielen hergestellten human t-PA wurde näher untersucht, und zwar sowohl durch Aufklärung der Genkodierungssequenz und durch biochemische Pro30 teinuntersuchungstechniken. Gegenwärtig nimmt man die in
Fig. 12 dargestellte Proteinstruktur an.

Durch Collen et al. (88) wurde auch nachgewiesen, dass zweikettiger human t-PA durch proteolytische Spaltung des ein-35 kettigen Moleküls in zwei durch Disulfidbindung verbundene Polypeptide erfolgt. Die gegenwärtigen Befunde erlauben den Schluss, dass die schwere Kette (Molekulargewicht 30 882) sich vom NH2-terminalen Teil ableitet und die leichte Kette 1 (Molekulargewicht 28 126) den COOH-terminalen Bereich umfasst. Die N-terminale Sequenzierung des zweikettigen Moleküls legt den Schluss nahe, dass die zweikettige Form durch Spaltung einer einzigen Arginyl-Isoleucin-Bindung entsteht 5 (Fig. 12, Pfeil).

Die primäre Struktur eines Teils des Bereichs der schweren Kette von human t-PA (Fig. 12) zeigt ein hohes Ausmass an Sequenzhomologie mit den "kringle"-Bereichen von Plasmino-10 gen (89) und Prothrombin (40, 41). Der "kringle"-Bereich bezieht sich auf eine charakteristische, dreifache Disulfidstruktur im "pro"-Fragment von Prothrombin, was zunächst von Magnusson et al. (91, 92) näher beschrieben wurde. In der Primärsequenz von t-PA sind zwei sogenannte "kringle"-Berei-15 che von jeweils 82 Aminosäuren erkennbar, die ein hohes Ausmass an Homologie mit den 5 "kringle"-Bereichen von Plasminogen zeigen. Die restlichen N-terminalen 91 Aminosäuren zeigen wenig Homologie mit dem üblichen "kringle"-Bereich. Es lässt sich jedoch vermuten, dass dieser Bereich ebenfalls 20 eine Struktur mit einem Gehalt an mehrfachen Disulfidbindungen annehmen kann, da dort 11 weitere Cysteinreste vorhanden sind.

Das katalytische Zentrum der leichten Kette von human t-PA, 25 der sogenannte Serinproteasebereich ist wie bei anderen Serinenzymen vermutlich aus den Resten Histidin<sub>322</sub>, Asparaginsäure<sub>371</sub> und Serin<sub>478</sub> gebildet. Ferner zeigen die diese Reste umgebenden Aminosäuresequenzen eine strake Homologie zu entsprechenden Teilen anderer Serinproteasen, wie Tryp-30 sin, Prothrombin und Plasminogen.

#### Erfindungsanspruch

- 1. Verfahren zur Herstellung von Humangewebe-Plasminogen-Aktivator (HPA, gekennzeichnet dadurch, daß eine Expression von DNA, die HPA kodiert, in einer rekombinanten Wirtszelle durchgeführt wird.
- 2. Verfahren nach Punkt 1, gekennzeichnet dadurch, daß man a) einen replizierbaren Expressionsvektor herstellt, der zur Expression der HPA kodierenden DNA-Sequenz in einer geeigneten Wirtszelle in der Lage ist,
  - b) eine Wirtszellenkultur zur Bildung einer rekombinanten Wirtszelle transformiert,
  - c) die rekombinanten Wirtszellen unter Bedingungen züchtet, die eine Expression der HPA kodierenden DNA-Sequenz zur Bildung von HPA erlauben, und
  - d) HPA gewinnt.
- 3. Verfahren nach Punkt 2, gekennzeichnet dadurch, daß man die Wirtszellenkultur mit dem Plasmid oder pt-PAtrp 12 transformiert.
- 4. Verfahren nach Punkt 2 oder 3, gekennzeichnet dadurch, daß man eine Mikroorganismenkultur oder Zellkultur verwendet.
- 5. Verfahren nach Punkt 4, gekennzeichnet dadurch, daß man einen E. coli-Stamm verwendet.
- 6. Verfahren nach Punkt 1, gekennzeichnet dadurch, daß ein HPA hergestellt wird, der nicht von assoziierter nativer Glycosylierung begleitet ist.
  - 7. Verfahren nach Punkt 1, gekennzeichnet dadurch, daß ein HPA hergestellt wird, der eine Polypeptidsequenz enthält, die sich vom N-Ende der üblicherweise ersten Aminosäure des HPA erstreckt.

# Hierzu 14 Seiten Zeichnungen

#### Literaturverzeichnis

- 1. US-A-3355361.
- 2. US-A-3926727.
- 3. US-A-4029767.
- 4. US-A-4258030.
- 5. US-A-4271150.
- 6. EP-A-0037687.
- 7. Rijken, D.C., "Plasminogen Activator from Human Tissue", Krips Repro Meppel, 1980.
- 8. US-A-3555000.
- 9. US-A-3998947.
- 10. US-A-4245051.
- 11. EP-A-0023860.
- 12. US-A-4083961.
- 13. US-A-4177262.
- 14. US-A-3082612.
- 15. Wallen, P., Proc. Serono Symp. 9, 91 (1977).
- 16. Thorsen, S., et al., Thrombos. Diathes. haemorrh. 28, 65 (1972).

- 17. Collen, <u>Thrombos. Haemostas.</u> 43, 77 (1980).
- 18. Wiman et al., Nature 272, 549 (1978).
- 5 19. EP-A-0041766.
  - 20. Weimar, W., et al., The Lancet Vol. II, No. 8254, p. 1018 (1981).
  - 21. GB-A-2007676A.

10

- 22. Wetzel, American Scientist 68, 664 (1980).
- 23. Microbiology, 2d Ed., Harper and Row Publications, Inc., Hagerstown, Maryland (1973), esp. pp. 1122 et seq.

15

- 24. Scientific American 245, 106 (1981).
- 25. GB-A-2055382A.
- 20 26. DE-A-2644432.
  - 27. Chang et al., Nature 275, 617 (1978).
  - 28. Itakura <u>et al., Science</u> <u>198</u>, 1056 (1977).

25

- 29. Goeddel et al., Nucleic Acids Research 8, 4057 (1980).
- 30. EP-A-0036776.
- 30
- 31. Siebenlist et al., Cell 20, 269 (1980).
- 32. Stinchcomb et al., Nature 282, 39 (1979).
- 33. Kingsman et al., Gene 7, 141 (1979).

35

- 34. Tschumper <u>et al., Gene 10</u>, 157 (1980).
- 35. Mortimer et al., Microbiological Reviews 44, 519 (198 ).
- 5 36. Miozzari et al., Journal of Bacteriology 134, 48 (1978).
  - 37. Jones, <u>Genetics</u> <u>85</u>, 23 (1977).
- 38. Hitzeman, et al., J. Biol. Chem. 255, 12073 (1980).
  - 39. Hess <u>et al.</u>, <u>J. Adv. Enzyme Regul. 7</u>, 149 (1968).
  - 40. Holland et al., Biochemistry 17, 4900 (1978).
- 15 41. Bostian et al., Proc. Natl. Acad. Sci. (USA) 77, 4504 (1980).
  - 42. The Molecular Biology of Yeast (Aug 11-18, 1981), Cold Spring Harbor Laboratory, Cold Spring Harbor, New York.
- 43. Chambon, Ann. Rev. Biochemistry, 44, 613 (1975).
  - 44. Tissue Culture, Academic Press, Kruse and Patterson eds, (1973).
- 45. Gluzman, <u>Cell</u> <u>23</u>, 175 (1981).
  - 46. Bolivar et al., Gene 2, 95 (1977).
  - 47. Lusky et al., Nature 293, 79 (1981).
- 30 48. Gluzman <u>et al.</u>, Cold Spring Harbor Symp. Quant. Biol. <u>44</u>, 293 (1980).
  - 49. Fiers et al., Nature 273, 113 (1978).
- 35 50. Reddy et al., <u>Science</u> 200, 494 (1978).

0332L -4 MAI 1983 \* 087532

- 51. Crea et al., Nucleic Acids Research 8, 2331 (1980).
- 52. Goeddel et al., Nature 287, 411 (1980).
- 53. Gray et al., Nature 295, 503 (1982).
  - 54. Oppermann et al., Virology 108, 47 (1981).
- 55. Ward et al., J. Virol. 9, 61 (1972). 10
  - 56. Aviv et al., Proc. Natl. Acad. Sci. (USA) 69, 1408 (1972).
  - 57. Lehrach et al., Biochemistry 16, 4743 (1977).
- 58. Lynch et al., Virology 98, 251 (1979).
  - 59. Lodish, Am. Rev. of Biochem. 45, 40 (1976).
- 60. Pelham et al., Eur. J. Brochem. 43, 247 (1976). - 20
  - 61. Blobel, et al., J. Cell Biology 67, 852 (1975).
  - 62. Shields et al., J. Biol. Chemistry 253, 3753 (1978).
- 25 63. Laemmli, <u>Nature</u> 227, 680 (1970).
  - 64. Bonner et al., Eur. J. Biochem. 46, 83 (1974).
- 65. Goeddel et al., Nature 281, 544 (1979). 30
  - 66. Wickens et al., J. Biol. Chem. 253, 2483 (1978).
  - 67. Chang et al., Nature 275, 617 (1978).
- 35 68. Bolivar et al., Gene 2, 95 (1977).
  - -4 MAI 1933 \* U87533 0332L

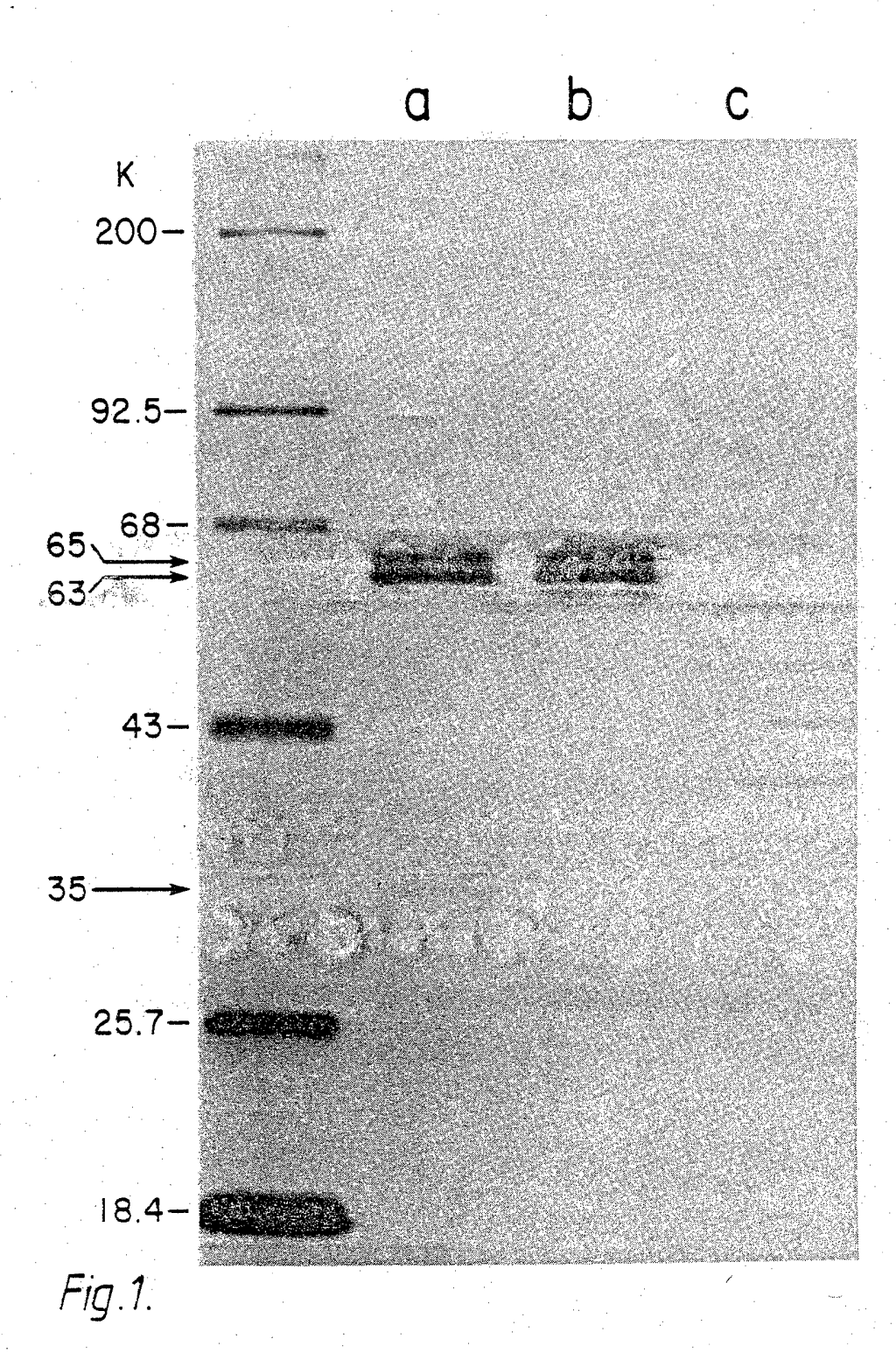
- 69. Grunstein et al., Proc. Natl. Acad. Sci. U.S.A. 72, 3961 (1975).
- 70. Hanahan <u>et al.</u>, <u>Gene 10</u>, 63 (1980).
- 71. Birnboim <u>et al.</u>, <u>Nucleic Acids Res.</u> 7, 1513 (1979).
  - 72. Smith, Methods Enzymol. 65, 499 (1980).
- 73. Messing <u>et al.</u>, <u>Nucleic Acids Res. 9</u>, 309 (1981).
  - 74. Maxam et al., Methods in Enzymol. 65, 499 (1980).
  - 75. Crea et al., Proc. Natl. Acad. Sci. 75, 5765 (1978).
- 15 76. Lawn et al., Cell 15, 1157 (1978).
  - 77. Southern, <u>J. Mol. Biol.</u> <u>98</u>, 503 (1975).
- 78. Benton <u>et al.</u>, <u>Science</u> <u>196</u>, 180 (1977).
  - 79. McGrath and Levinson, Nature 295, 423 (1982).
  - 80. Blin et al., Nucleic Acid Res. 3, 2303 (1976).
- 25 81. Lawn et al., Science 212, 1159 (1981).
  - 82. Fritsch et al., Cell 19, 959 (1980).
- 83. Taylor <u>et al.</u>, <u>Biochem. Biophys. Acta</u> 442, 324 (1976).
  - 83b. Edman et. al., European J. Biochem. 1, 80 (1967).
  - 84. Denhardt, Biochem. Biophys. Res. Comm. 23, 641 (1966).
- 35 85. Wahl et al., Proc. Natl. Acad. Sci. (USA) 76, 3683 (1979).

0332L -4.MAI 1983 \* 087533

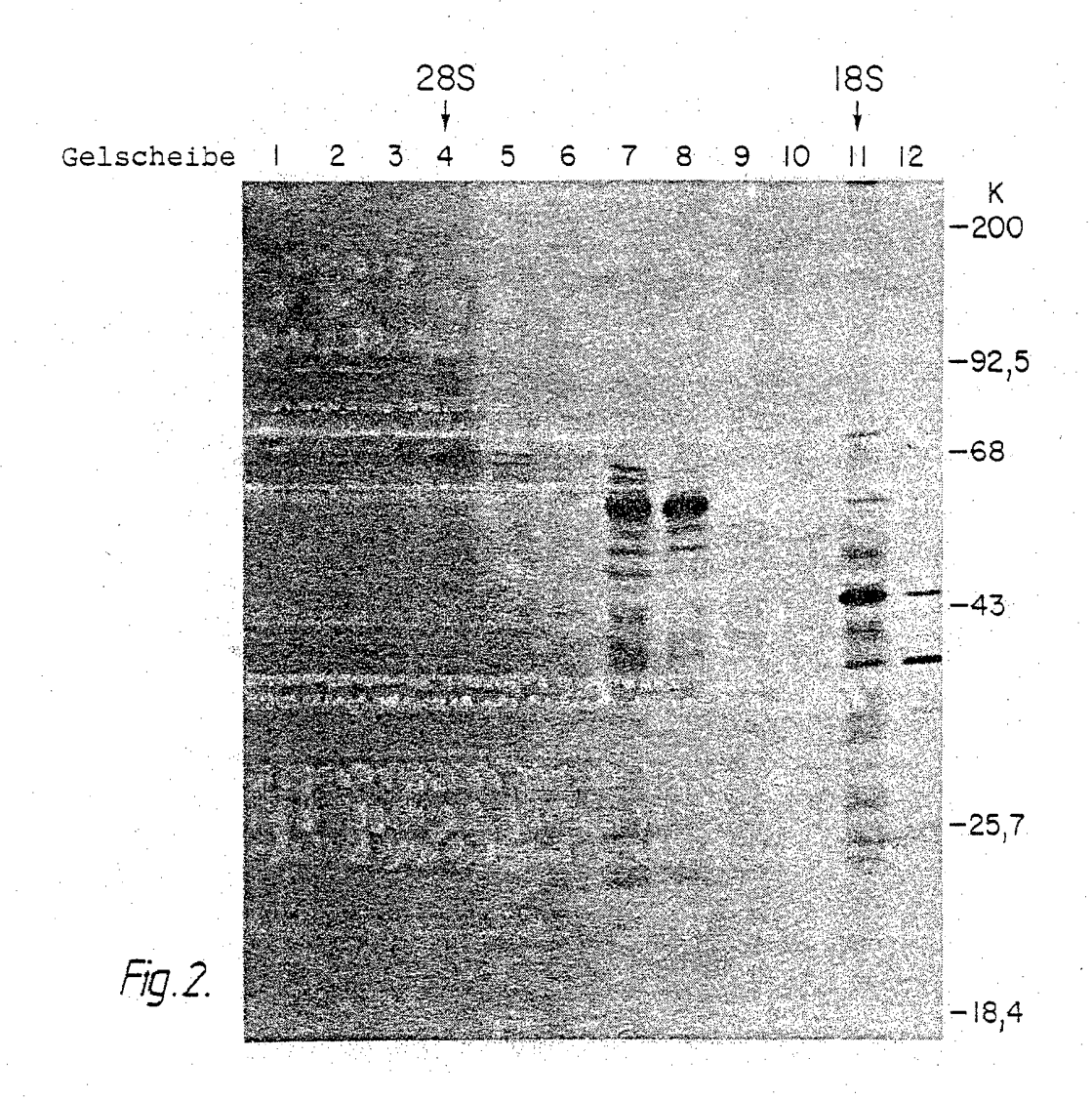
- 86. Davis et al., Advanced Bacterial Genetics, Cold Spring Harbor Laboratory, New York (1980).
- 87. Granelli-Piperno et al., J. Exp. Med. 148, 223.
  - 88. Rijken et al., <u>J. Biol. Chem.</u> 256, 7035 (1981).
- 89. Sottrup-Jensen et al., <u>Progress in Chemical Fibrinolysis and Thrombolysis</u>, Vol. 3, Raven Press, N.Y. p. 191 (1978)
  - 90. Sothrup-Jensen et al., Proc. Natl. Acad. Sci. (USA) 72, 2577 (1975).
- 91. Magnussen et al., Proteolysis and Physiological Regulation,
  Ribbons et al., Eds., Academic Press, New York, p. 203 (1976).
  - 92. Magnussen et al., <u>Proteases and Biological Control</u>, Cold Spring Harbor Laboratory, N.Y., p. 123 (1975).
- 93. Miller, Experiments in Molecular Genetics, p. 431-3, Cold Spring Harbor Lab., Cold Spring Harbor, New York (1972).
  - 94. Reich, E., Proteases and Biological Control, (Ibid) p. 333-341.
- 25 95. Matsuo, O., et al., Throm. Haemostasis 45 225 (1981).
  - 96. Koringer, C., et al., Throm. Haemostasis 46 561, 662 (1981).
- 97. Hoylaerts, M., <u>et al.</u>, <u>J. Biol. Chem</u>. <u>257</u> 2912 (1982).
  - 98. Koringer, C., et al., Thromb. Haemostasis 46 685 (1981).

35

5



-4.MAI 1983 \* 087535

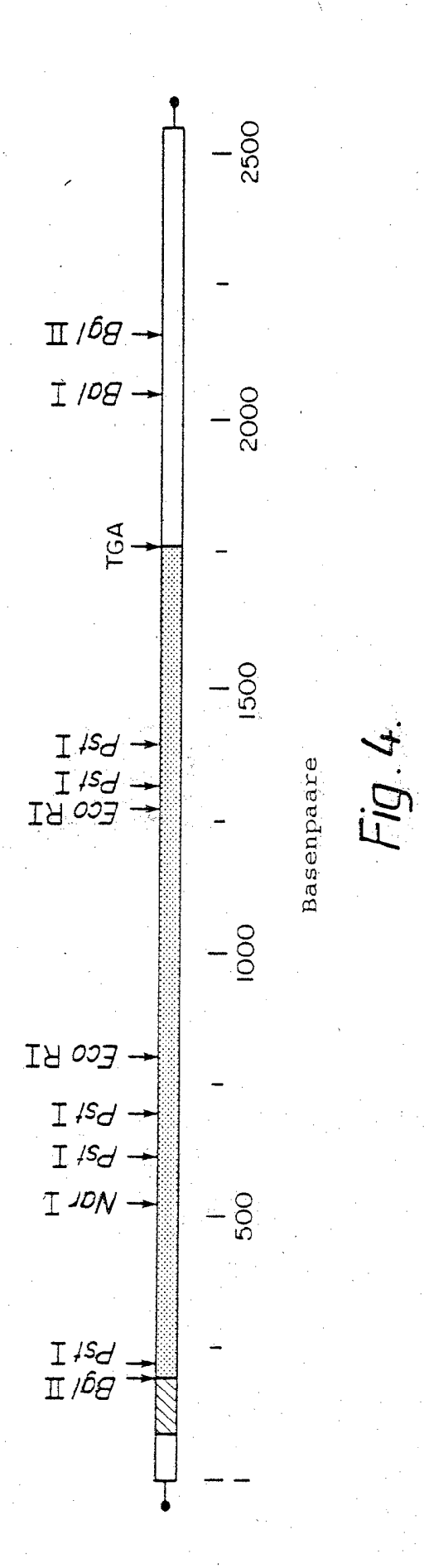


# KOLONIEHYBRIDISIERUNG

RNA Gelscheibe 7 cDNA-Klone

egen

 $^{32}P-TC(^{A}_{6})CA(^{A}_{6})TA(^{C}_{7})TCCCA-rracer$ 



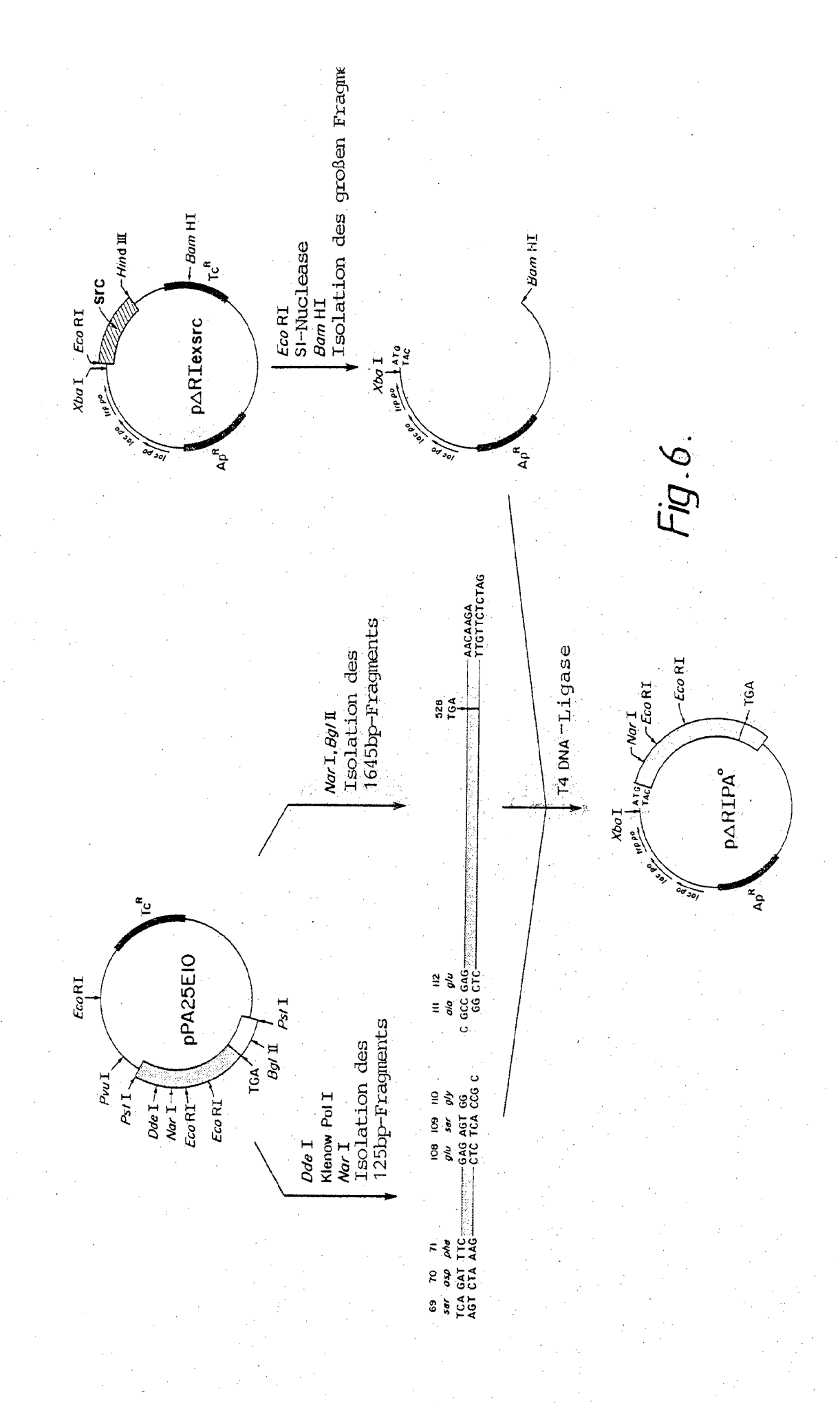
-4 MAI 1933\* U 87533

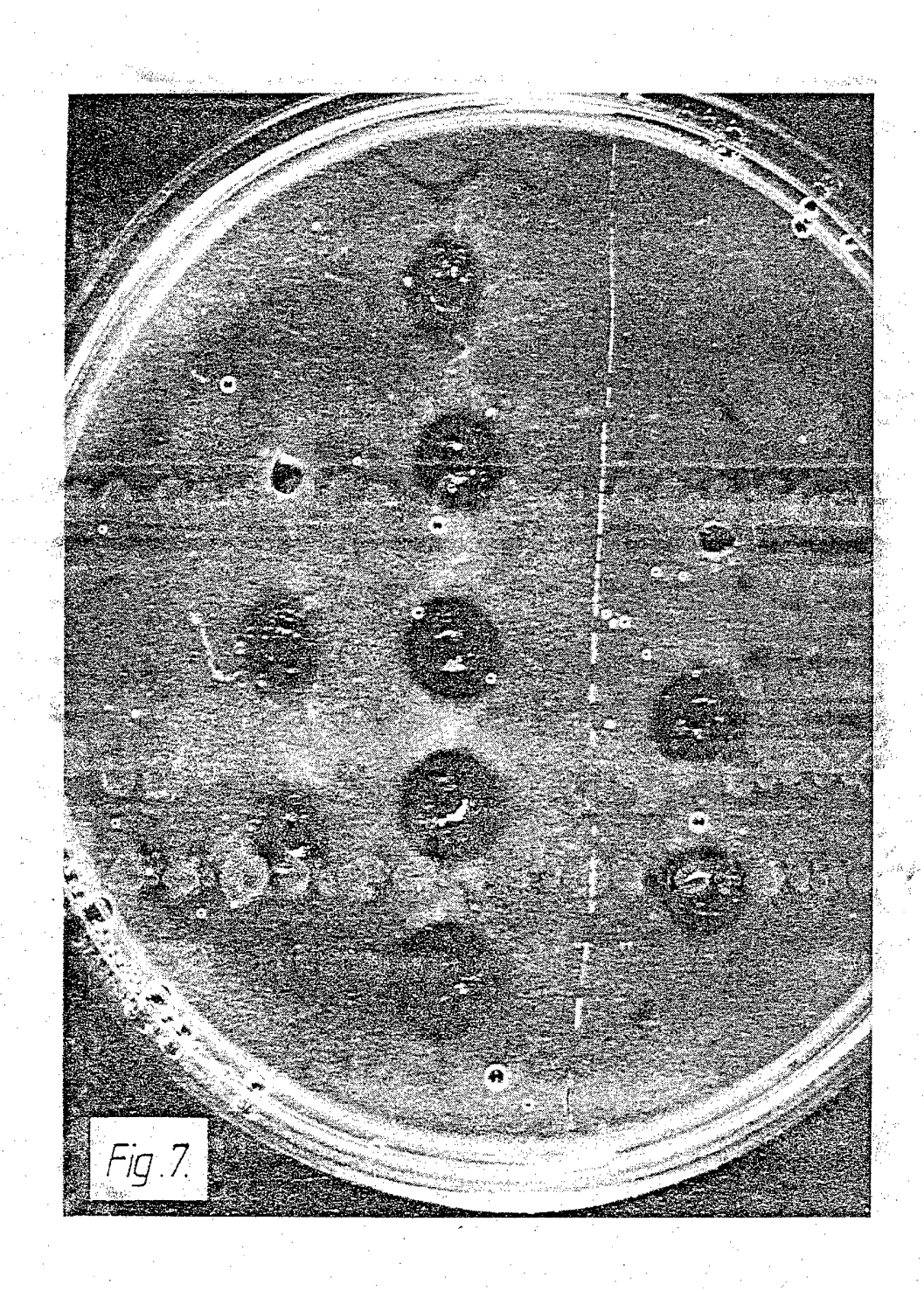
-35met asp ala met lys arg gly leu ATTTAAGGGACGCTGTGAAGCAATGC ATG GAT GCA ATG AAG AGA GGG CTC -20 cys cys val leu leu cys gly ala val phe val ser pro ser TGC TGT GTG CTG CTG TGT GGA GCA GTC TTC GTT TCG CCC AGC -10gln glu ile his ala arg phe arg arg gly ala arg SER TYR GLN CAG GAA ATC CAT GCC CGA TTC AGA AGA GGA GCC AGA TCT TAC CAA VAL ILE CYS ARG ASP GLU LYS THR GLN MET ILE TYR GLN GLN HIS GTG ATC TGC AGA GAT GAA AAA ACG CAG ATG ATA TAC CAG CAA CAT GLN SER TRP LEU ARG PRO VAL LEU ARG SER ASN ARG VAL GLU TYR CAG TCA TGG CTG CGC CCT GTG CTC AGA AGC AAC CGG GTG GAA TAT 40 CYS TRP CYS ASN SER GLY ARG ALA GLN CYS HIS SER VAL PRO VAL TGC TGG TGC AAC AGT GGC AGG GCA CAG TGC CAC TCA GTG CCT GTC 60 LYS SER CYS SER GLU PRO ARG GYS PHE ASN GLY GLY THR CYS GLN AAA AGT TGC AGC GAG CCA AGG TGT TTC AAC GGG GGC ACC TGC CAG 70 GLN ALA LEU TYR PHE SER ASP PHE VAL CYS GLN CYS PRO GLU GLY CAG GCC CTG TAC TTC TCA GAT TTC GTG TGC CAG TGC CCC GAA GGA 90 PHE ALA GLY LYS CYS CYS GLU ILE ASP THR ARG ALA THR CYS TYR TTT GCT GGG AAG TGC TGT GAA ATA GAT ACC AGG GCC ACG TGC TAC 100 GLU ASP GLN GLY ILE SER TYR ARG GLY THR TRP SER THR ALA GLU GAG GAC CAG GGC ATC AGC TAC AGG GGC ACG TGG AGC ACA GCG GAG 110 120 SER GLY ALA GLU CYS THR ASN TRP ASN SER SER ALA LEU ALA GLN AGT GGC GCC GAG TGC ACC AAC TGG AAC AGC AGC GCG TTG GCC CAG 130 LYS PRO TYR SER GLY ARG ARG PRO ASP ALA ILE ARG LEU GLY LEU AAG CCC TAC AGC GGG CGG AGG CCA GAC GCC ATC AGG CTG GGC CTG 140 GLY ASN HIS ASN TYR CYS ARG ASN PRO ASP ARG ASP SER LYS PRO GGG AAC CAC AAC TAC TGC AGA AAC CCA GAT CGA GAC TCA AAG CCC TRP CYS TYR VAL PHE LYS ALA GLY LYS TYR SER SER GLU PHE CYS TGG TGC TAC GTC TTT AAG GCG GGG AAG TAC AGC TCA GAG TTC TGC 1:80 SER THR PRO ALA CYS SER GLU GLY ASN SER ASP CYS TYR PHE GLY AGC ACC CCT GCC TGC TCT GAG GGA AAC AGT GAC TGC TAC TTT GGG

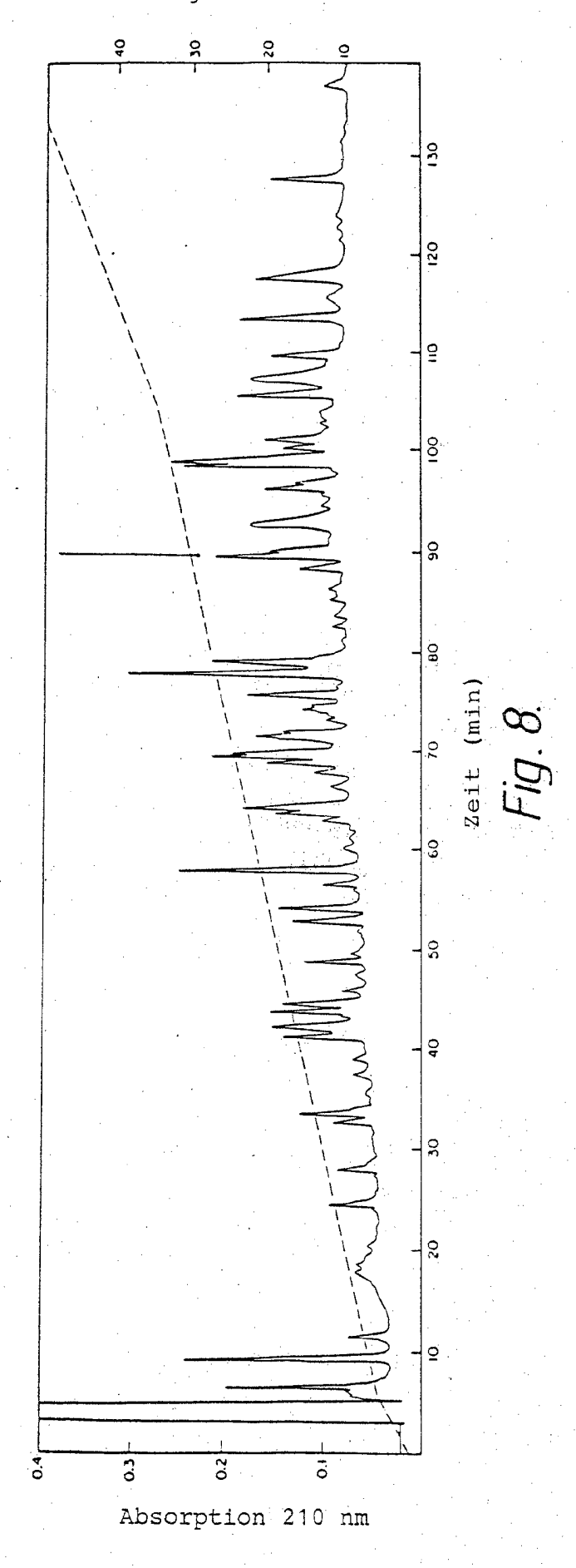
190 ASN GLY SER ALA TYR ARG GLY THR HIS SER LEU THR GLU SER GLY AAT GGG TCA GCC TAC CGT GGC ACG CAC AGC CTC ACC GAG TCG GGT ALA SER CYS LEU PRO TRP ASN SER MET ILE LEU ILE GLY LYS VAL GCC TCC TGC CTC CCG TGG AAT TCC ATG ATC CTG ATA GGC AAG GTT 220 TYR THR ALA GLN ASN PRO SER ALA GLN ALA LEU GLY LEU GLY LYS TAC ACA GCA CAG AAC CCC AGT GCC CAG GCA CTG GGC CTG GGC AAA 240 230 HIS ASN TYR CYS ARG ASN PRO ASP GLY ASP ALA LYS PRO TRP CYS CAT AAT TAC TGC CGG AAT CCT GAT GGG GAT GCC AAG CCC TGG TGC 250 HIS VAL LEU-LYS ASN ARG ARG LEU THR TRP/GLU TYR CYS ASP VAL CAC GTG CTG AAG AAC CGC AGG CTG ACG TGG GAG TAC TGT GAT GTG 270 260 PRO SER CYS SER THR CYS GLY LEU ARG GLN TYR SER GLN PRO GLN CCC TCC TGC TCC ACC TGC GGC CTG AGA CAG TAC AGC CAG CCT CAG 280 PHE ARG. ILE LYS. GLY GLY LEU PHE ALA ASP ILE ALA SER HIS. PRO TIT CGC ATC AAA GGA GGG CTC TTC GCC GAC ATC GCC TCC CAC CCC 290 -300 TRP GLN ALA ALA ILE PHE ALA LYS HIS ARG ARG SER PRO GLY GLU TGG CAG GCT GCC ATC TTT GCC AAG CAC AGG AGG TCG CCC GGA GAG 310 ARG PHE LEU CYS GLY GLY ILE LEU ILE SER SER CYS TRP ILE LEU CGG TTC CTG TGC GGG GGC ATA CTC ATC AGC TCC TGC TGG ATT CTC 3.30 SER ALA ALA HIS CYS PHE GLN GLU ARG PHE PRO PRO HIS HIS LEU TOT GOO GOO CAC TGO TTO CAG GAG AGG TTT COG COO CAC CAC CTG 3 40 THR VAL ILE LEU GLY ARG THR TYR ARG VAL VAL PRO GLY GLU GLU AGG GTG ATC TTG GGC AGA ACA TAC CGG GTG GTC CCT GGC GAG GAG 350 360 GLU GLN LYS PHE GLU VAL GLU LYS TYR ILE VAL HIS LYS GLU PHE GAG CAG AAA TIT GAA GIC GAA AAA TAC AIT GIC CAI AAG GAA TIC 370 ASP ASP ASP THR TYR ASP ASN ASP ILE ALA LEU LEU GLN LEU LYS GAT GAT GAC ACT TAC GAC AAT GAC ATT GCG CTG CTG CAG CTG AAA 380 390 SER ASP SER SER ARG CYS ALA GLN GLU SER SER VAL VAL. ARG THR TCG GAT TCG TCC CGC TGT GCC CAG GAG AGC AGC GTG GTC CGC ACT 400 VAL CYS LEU PRO PRO ALA ASP LEU GLN LEU PRO ASP TRP THR GLU GTG TGC CTT CCC CCG GCG GAC CTG CAG CTG CCG GAC TGG ACG GAG 410 420 CYS GLU LEU SER GLY TYR GLY LYS HIS GLU ALA LEU SER PRO PHE TGT GAG CTC TCC GGC TAC GGC AAG CAT GAG GCC TTG TCT CCT TTC Fig.5B.

430 TYR SER GLU ARG LEU LYS GLU ALA HIS VAL ARG LEU TYR PRO SER TAT TCG GAG CGG CTG AAG GAG GCT CAT GTC AGA CTG TAC CCA TCC 440 450 SER ARG CYS THR SER GLN HIS LEU LEU ASN ARG THR VAL THR ASP AGC CGC TGC ACA TCA CAA CAT TTA CTT AAC AGA ACA GTC ACC GAC 4 60 ASN MET LEU CYS ALA GLY ASP THR ARG SER GLY GLY PRO GLN ALA AAC ATG CTG TGT GCT GGA GAC ACT CGG AGC GGC CGC CAG GCA 470 480 ASN LEU HIS ASP ALA CYS GLN GLY ASP SER GLY GLY PROLLEU VAL AAC TITG. CAC GAC GCC TGC. CAG GGC GAT TCG GGA GGC CCC CTG GTG 490 CYS LEU ASN ASP GLY ARG MET THR LEU VAL GLY ILE ILE SER TRP TGT CTG AAC GAT GGC CGC ATG ACT TTG GTG GGC ATC ATC AGC TGG GLY LEUTGEY CYS GEY GLN LYS ASP VALAPROLGLY VALATYR THRELYS GGC CTG GGC TGT, GGA CAG AAG GAT GTC CCG GGT GTG TAC ACA AAG 527 5 20 VAL THR ASN TYR LEU ASP TRP ILE ARG ASP ASN MET ARG PRO OP GTT ACC AAC TAC CTA GAC TGG ATT CGT GAC AAC ATG CGA CCG TGA C C A G G A A C A C C C G A C T C C T C A A A A G C A A A T G A G A T C C C G C C T C T T C T T C T T C A G A A G A C A CTG CAAAGG CG CAGTG CTT CT CTACAGA CTT CT CCAGA CCCACCACACCG CAGAAG CGGG ACGAGACCCTACAGGGAGAGGGAAGAGTGCATTTTCCCAGATACTTCCCATTTTGGAAGT TTT CAGGACTTGGT CTGATTT CAGGATACT CTGT CAGATGGGAAGACATGAATGCACACT A G C C T C C C A G G A A T G C C T C C C T G G G C A G A G T G G C C A T G C C A C C C T G T T T T C G C T A AAG C C CAA C C T C C T GA C C T G T C A C C G T G A G C A T T T G G A A C A G G A C C A C A A A A A T G A A A G C A T G T C T CA'A T A G T A A A A G A A A C A A G A G A T C T T T C A G G A A A G A C G G A T T G C A T T A G A A A TA GA CA GTA TA TTTA TA GT CA CAAGGG C C CAG CAGGG CT CAAA GTT GGGG CAGG CT GG C TGGCCCGTCATGTTCCTCAAAAGCGCCCTTGACGTCAAGTCTCCTTCCCCCTTTCCCCACT CCCTGGCTCTCAGAAGGTATTCCTTTTGAGTACAGTGTGTAAAGTGTAAATCCTTTTTCT TTATAAA CTTTA GA GTA G CA TGA GA GA ATTGTA T CA TTTGAA CAA CTA GG CTT CA G CA TA TTTATAGCGATCCATCGTTAGTTTTTACTTTCCGTTGCCACAACCCTGTTTTATACCGTA 

Fig. 5C.







-4 MAI 1983 \* 087532

